

CONSTITUINTES QUÍMICOS DAS FOLHAS DE *Riedeliella graciliflora* Harms (LEGUMINOSAE)

Mayker Lazaro Dantas Miranda, Alex Fonseca Souza, Edilene Delphino Rodrigues, Fernanda Rodrigues Garcez e Walmir Silva Garcez*

Departamento de Química, Universidade Federal de Mato Grosso do Sul, CP 549, 79070-900 Campo Grande – MS, Brasil

Alfredo Abot

Universidade Estadual de Mato Grosso do Sul, Unidade Universitária de Aquidauana, 79200-000 Aquidauana – MS, Brasil

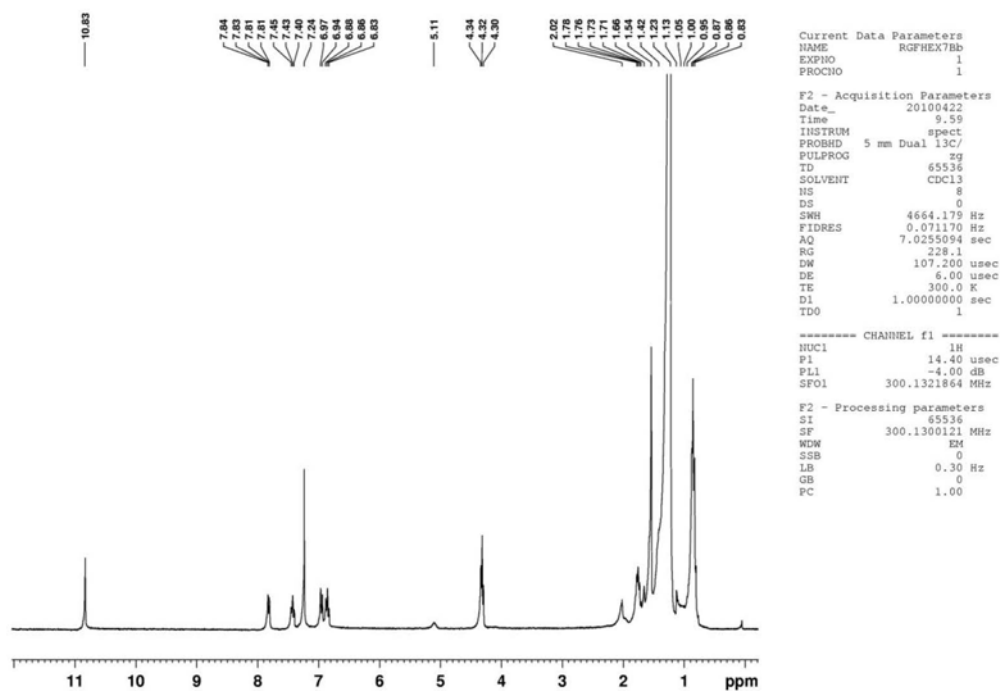


Figura 1S. Espectro de RMN¹H (300 MHz, CDCl₃) do composto I (salicilato de pentacosanila)

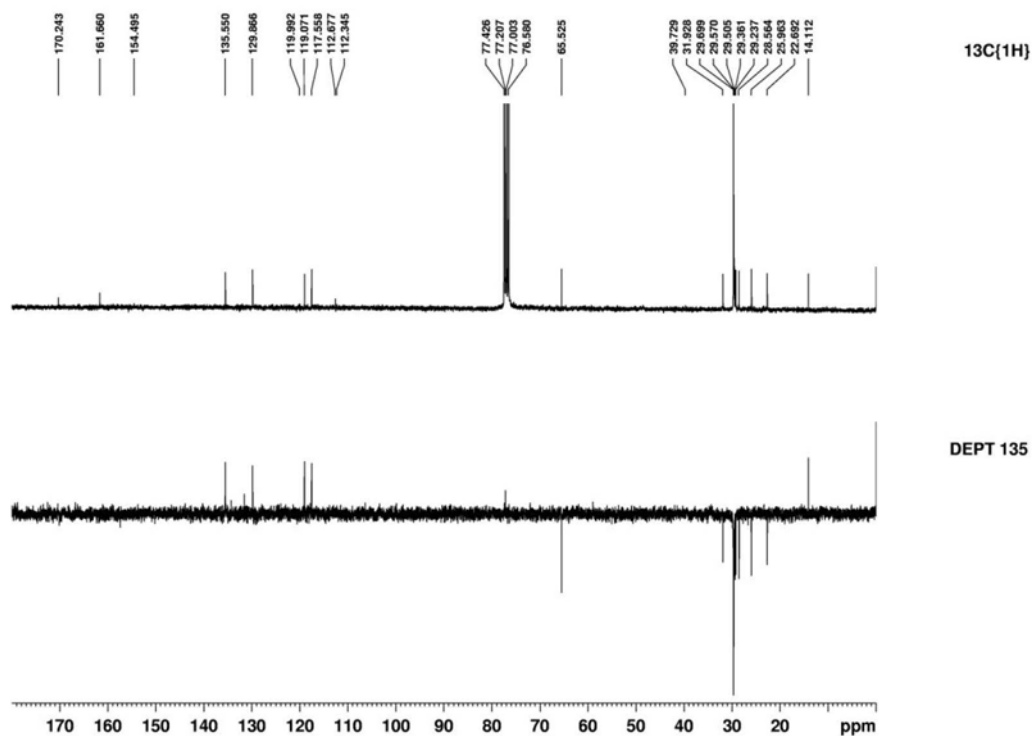


Figura 2S. Espectro de RMN ^{13}C e experimento DEPT 135° (300 MHz, CDCl_3) do composto **I** (salicilato de pentacosanila)

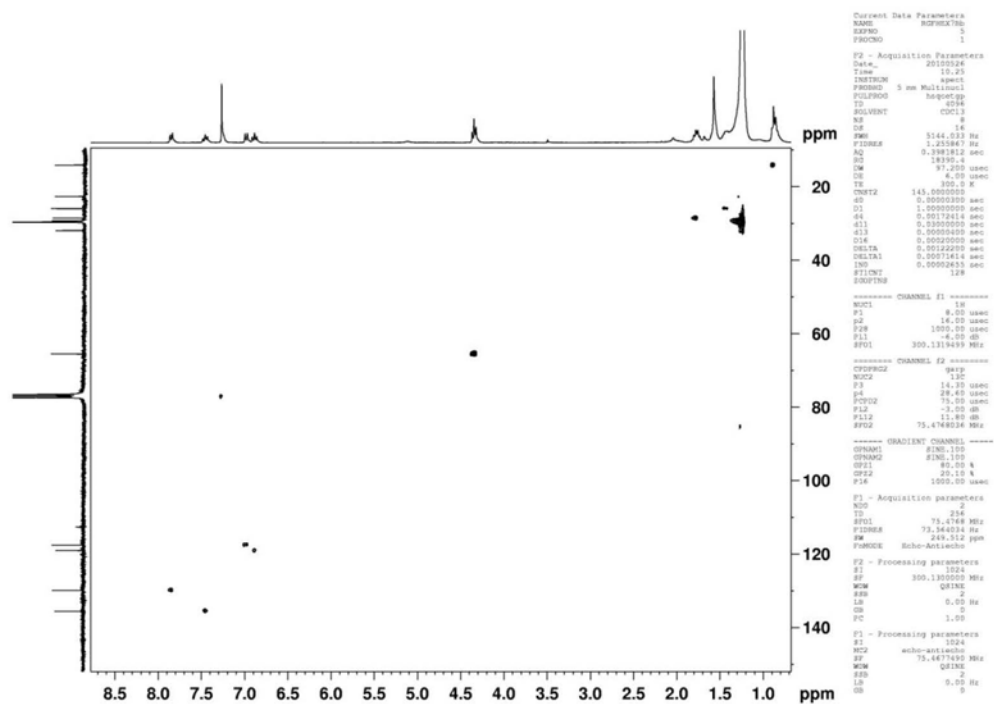


Figura 3S. Experimento HSQC (300/75 MHz, CDCl_3) do composto **I** (salicilato de pentacosanila)

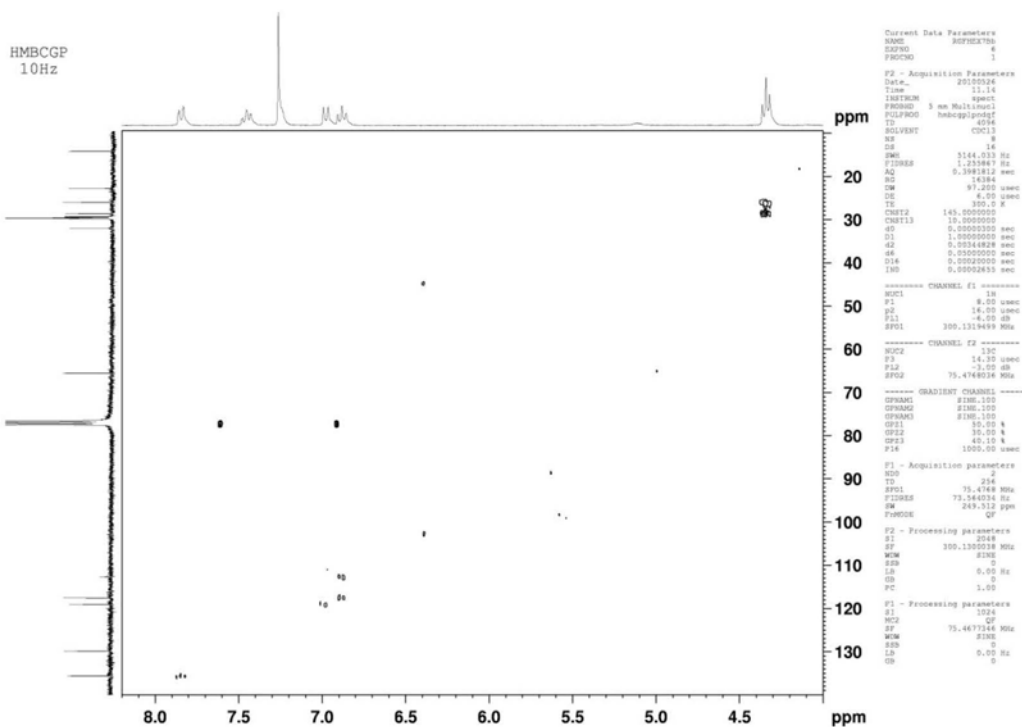


Figura 4S. Experimento HMQC (300/75 MHz, CDCl₃) do composto 1 (salicilato de pentacosanila)

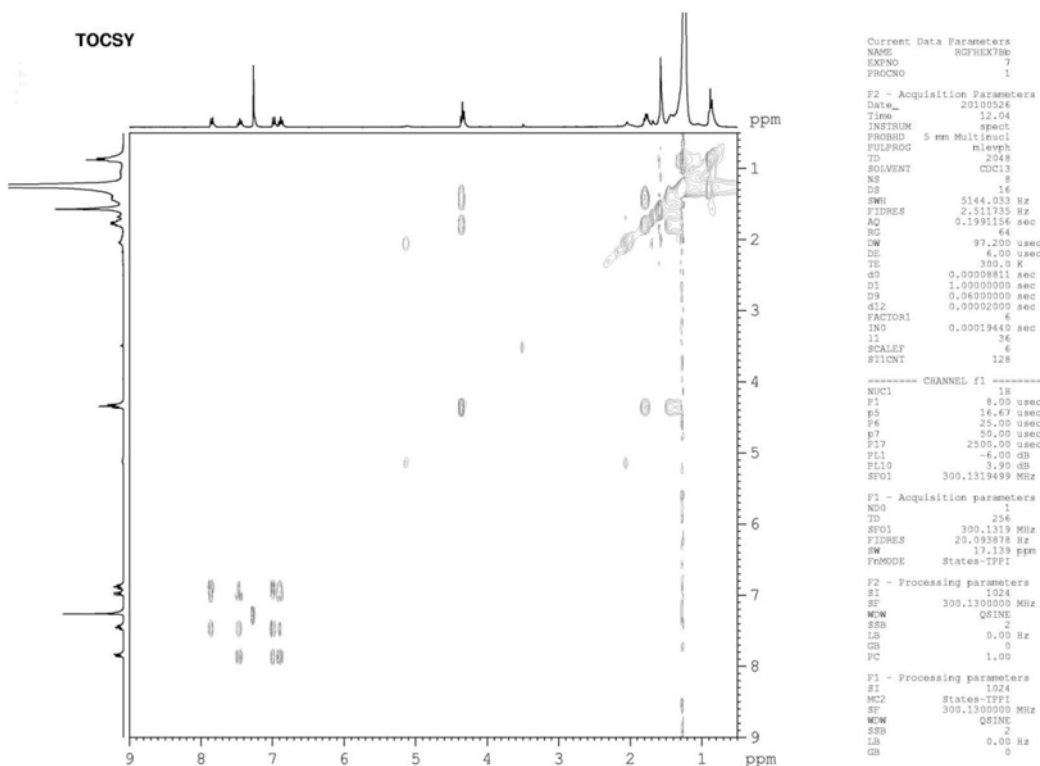


Figura 5S. Experimento TOCSY (300 MHz, CDCl₃) do composto 1 (salicilato de pentacosanila)

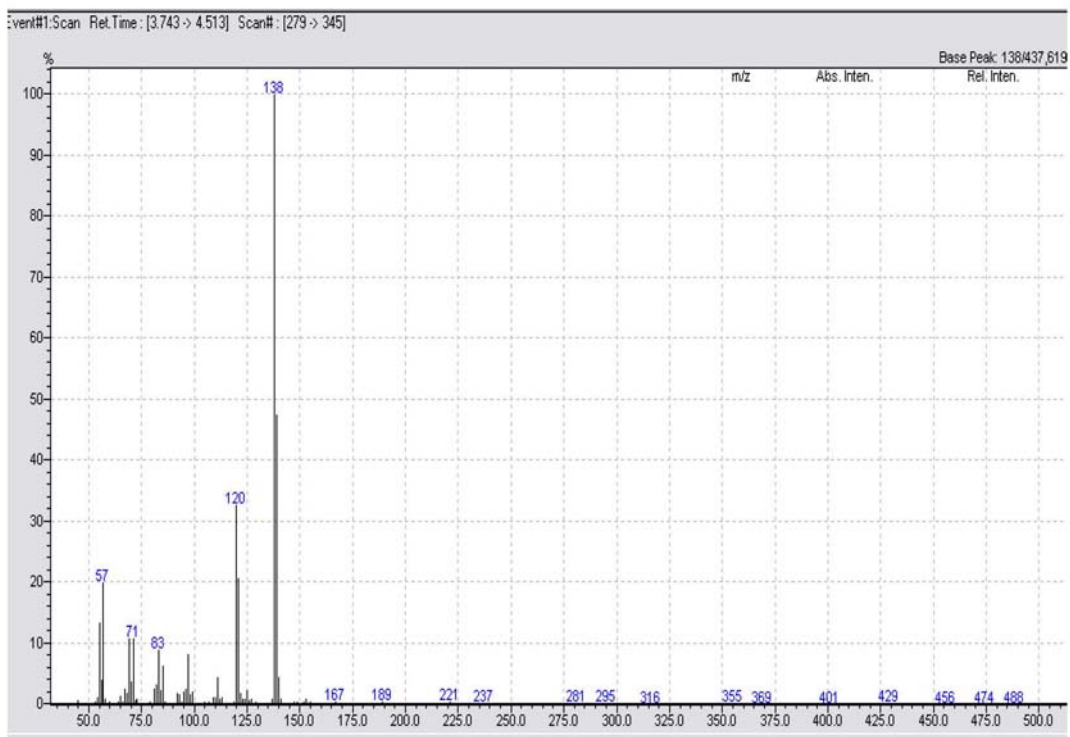


Figura 6S. Espectro de massas do composto I (salicilato de pentacosanila)

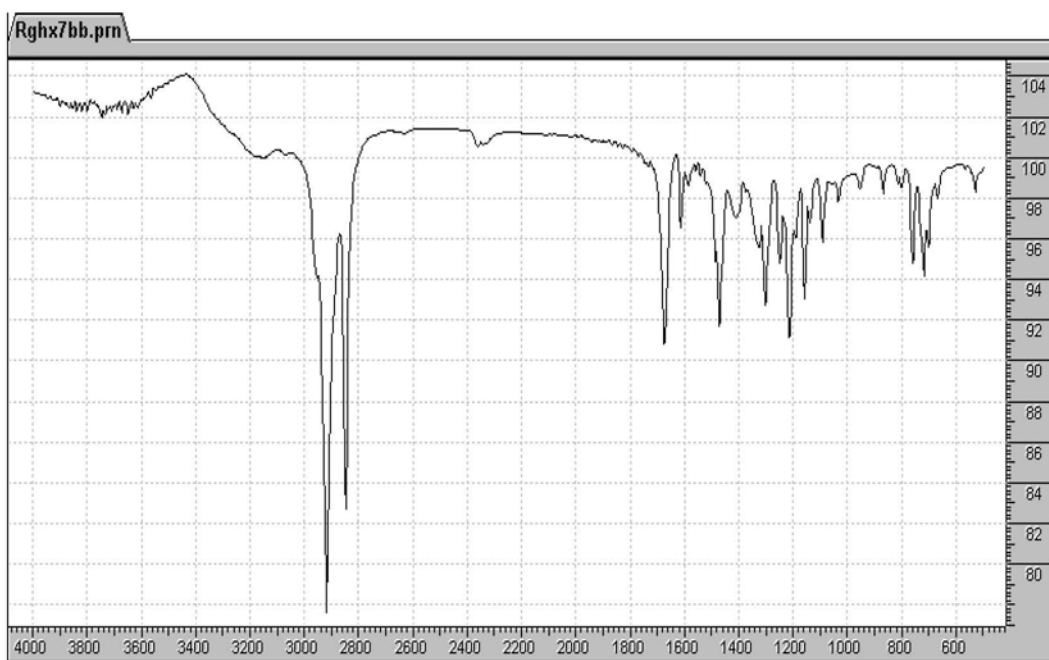


Figura 7S. Espectro de absorção na região do infravermelho do composto I (salicilato de pentacosanila)

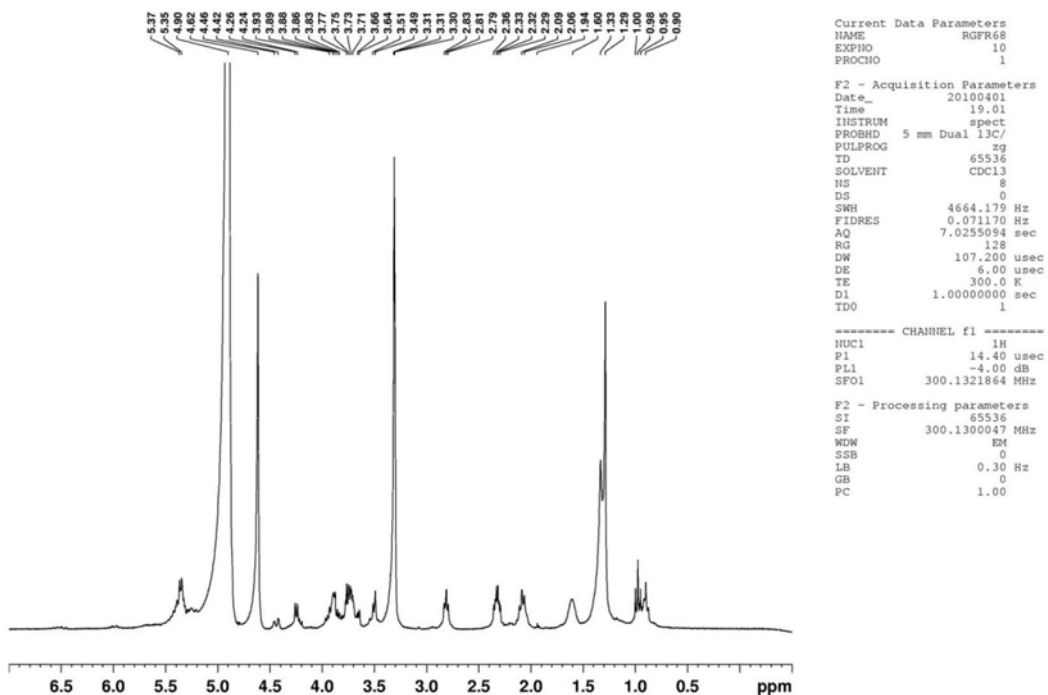


Figura 8S. Espectro de RMN ^1H (300 MHz, CD_3OD) do composto 2 [1,2-di-O- α -linolenoil-3-O-(α -D-galactopiranosil-1-6- β -D-galactopiranosil)-glicerol]

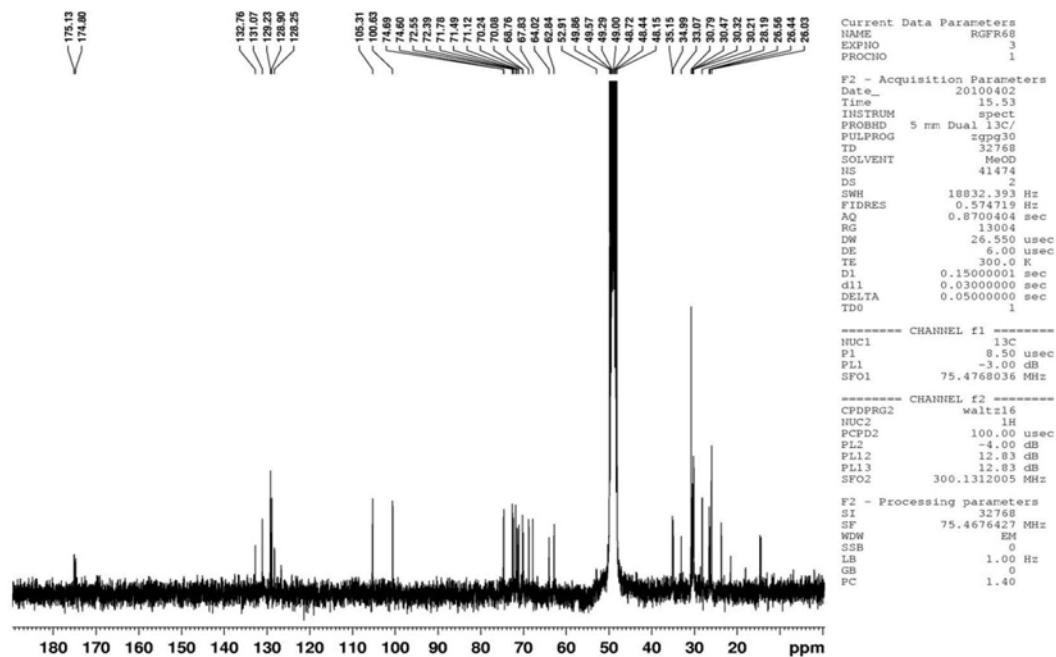


Figura 9S. Espectro de RMN ^{13}C (75 MHz, CD_3OD) do composto 2 [1,2-di-O- α -linolenoil-3-O-(α -D-galactopiranosil-1-6- β -D-galactopiranosil)-glicerol]

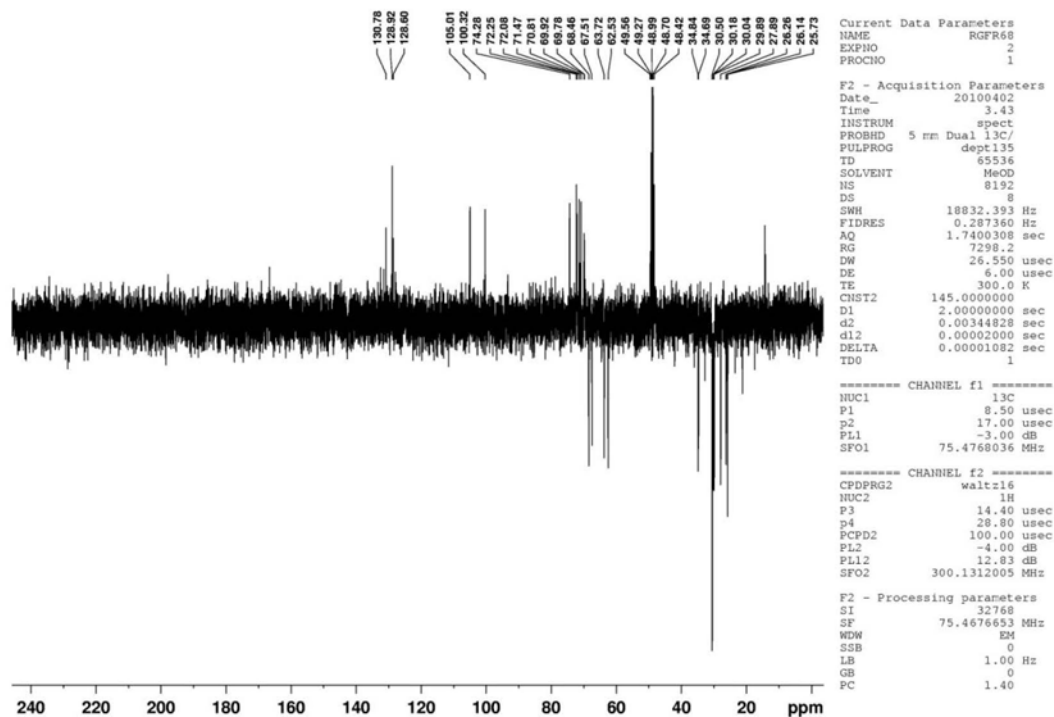


Figura 10S. Experimento DEPT 135° (75 MHz, CD₃OD) do composto 2 [1,2-di-O- α -linolenil-3-O-(α -D-galactopiranosil-1-6- β -D-galactopiranosil)-glicerol]

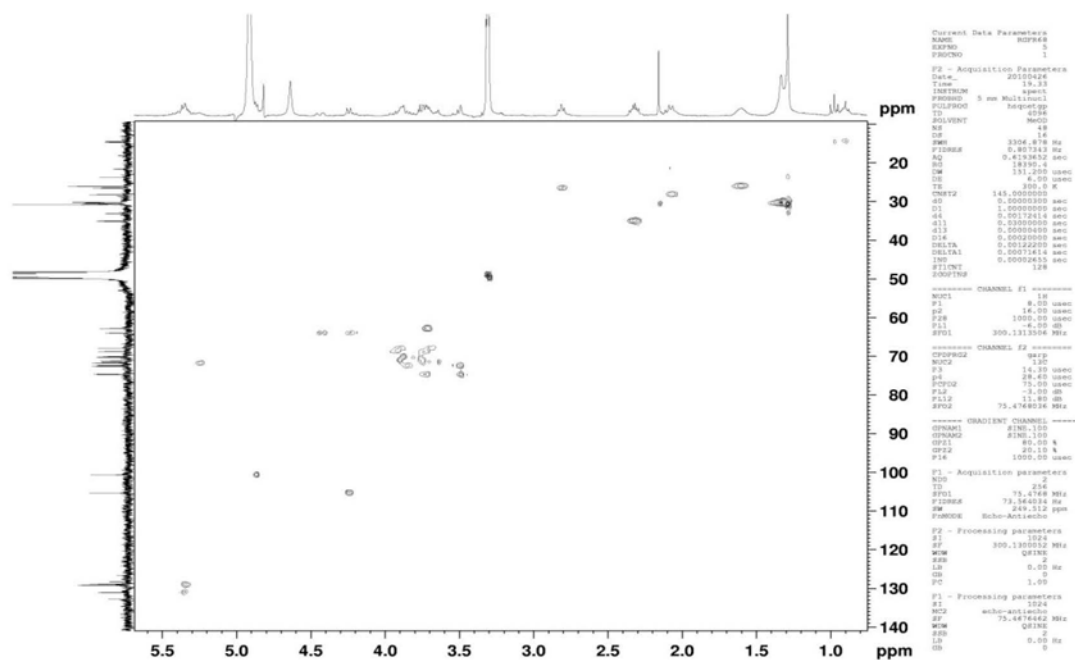


Figura 11S. Experimento HSQC (300/75 MHz, CD₃OD) do composto 2 [1,2-di-O- α -linolenil-3-O-(α -D-galactopiranosil-1-6- β -D-galactopiranosil)-glicerol]

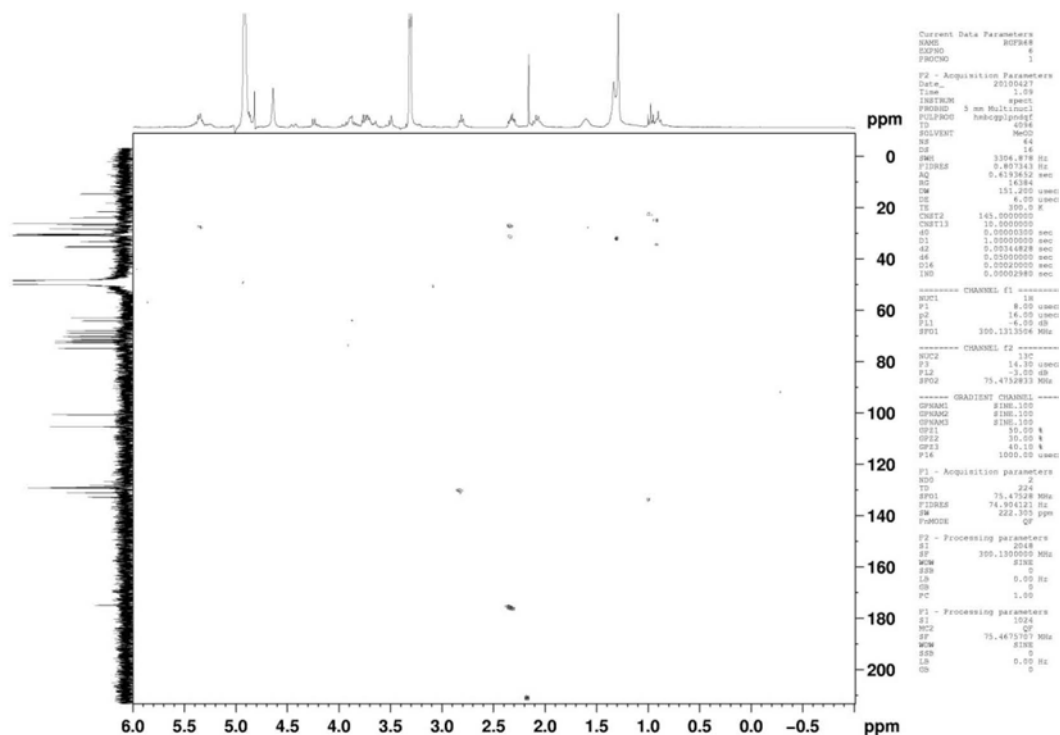


Figura 12S. Experimento HMBC (300/75 MHz, CD₃OD) do composto 2 [1,2-di-O- α -linolenil-3-O-(α -D-galactopiranosil-1- β -D-galactopiranosil)-glicerol]

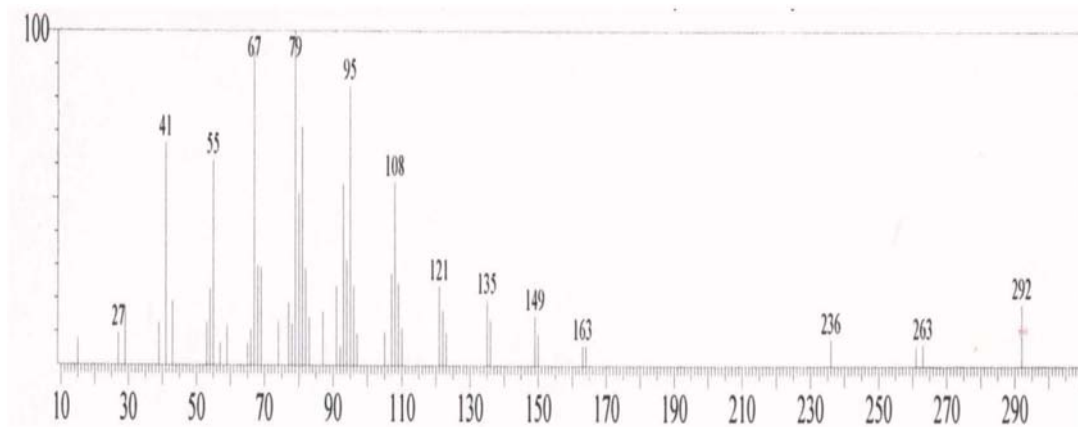


Figura 13S. Espectro de massas do α -linolenato de metila

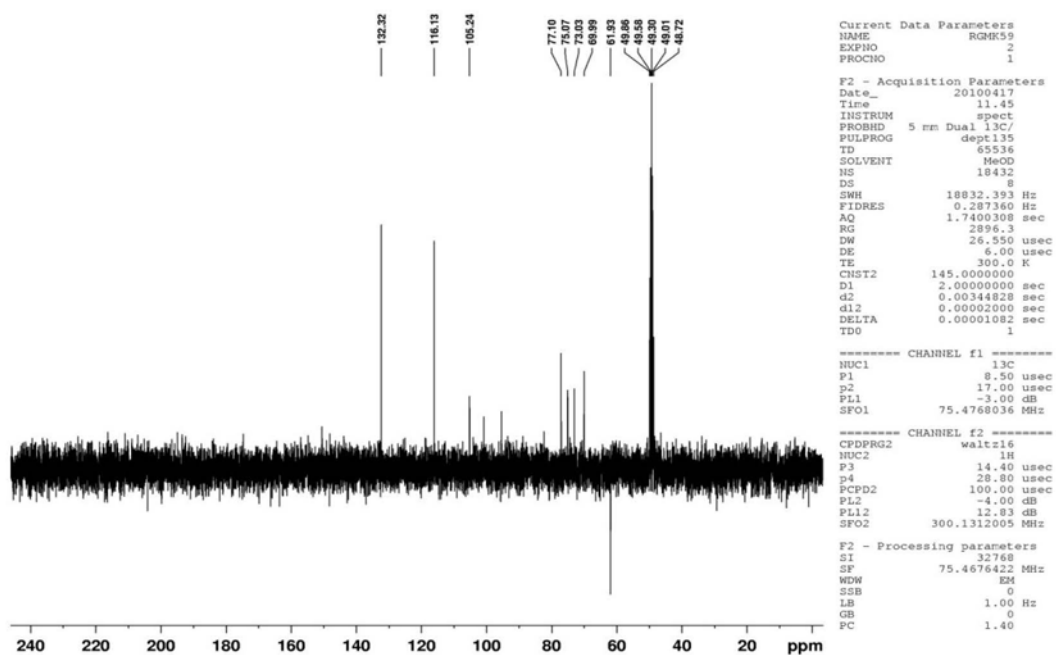


Figura 16S. Experimento DEPT 135° (75 MHz, CD₃OD) do composto 3 (kaempferol-3-O-β-D-glucopiranosídeo)

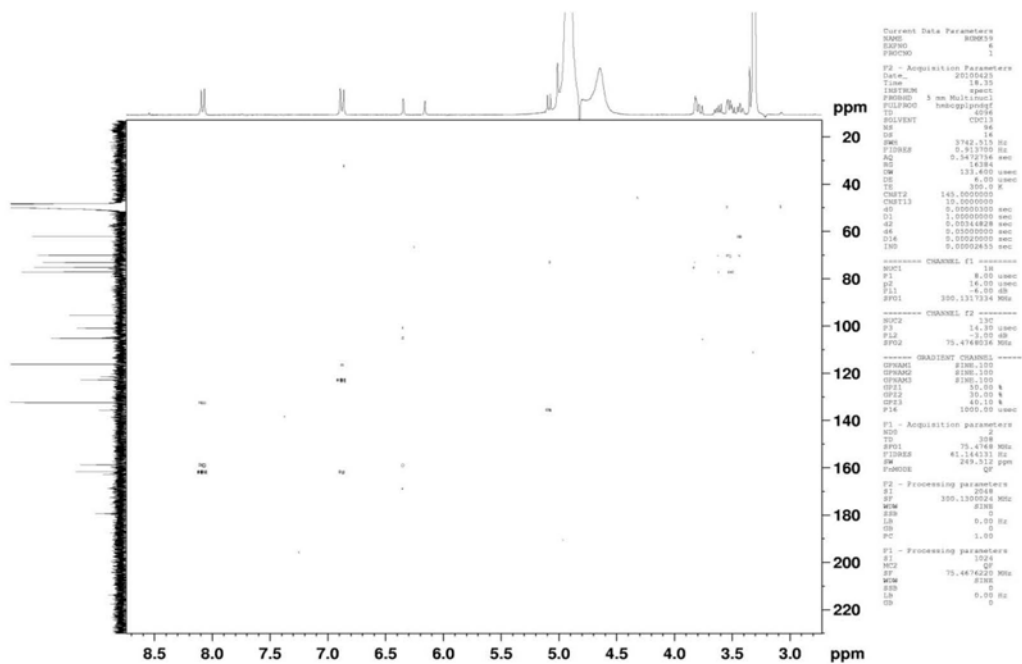


Figura 17S. Experimento HMBC (300/75 MHz, CD₃OD) do composto 3 (kaempferol-3-O-β-D-glucopiranosídeo)

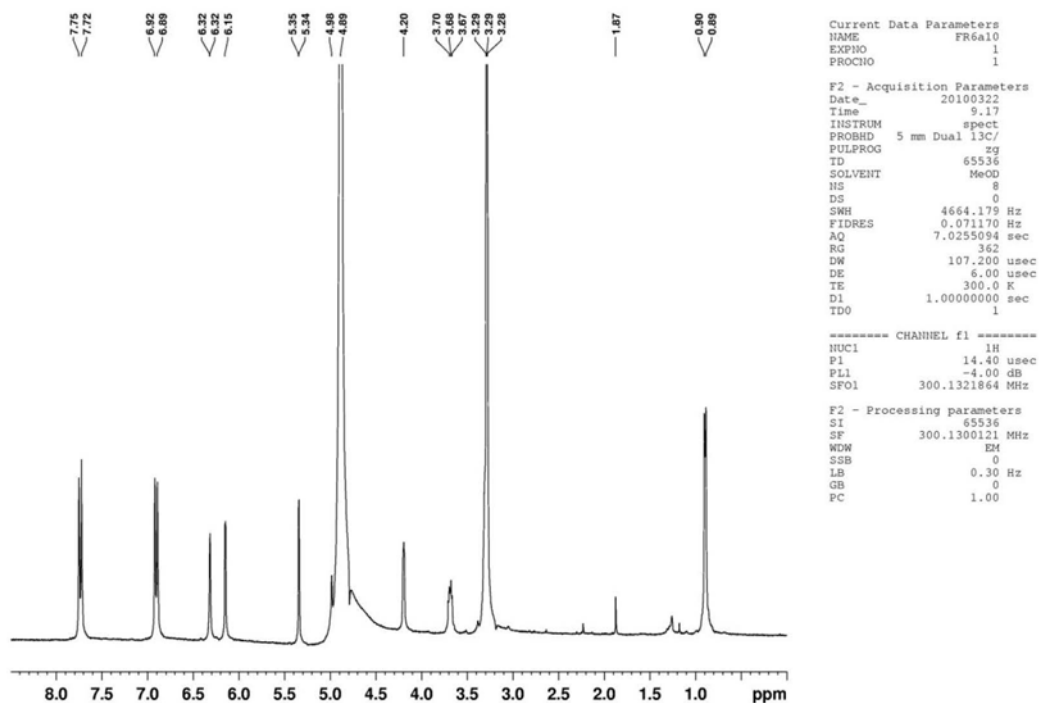


Figura 18S. Espectro de RMN ^1H (300 MHz, CD_3OD) do composto **4** (kaempferol-3-O- α -L-rhamnopyranosídeo)

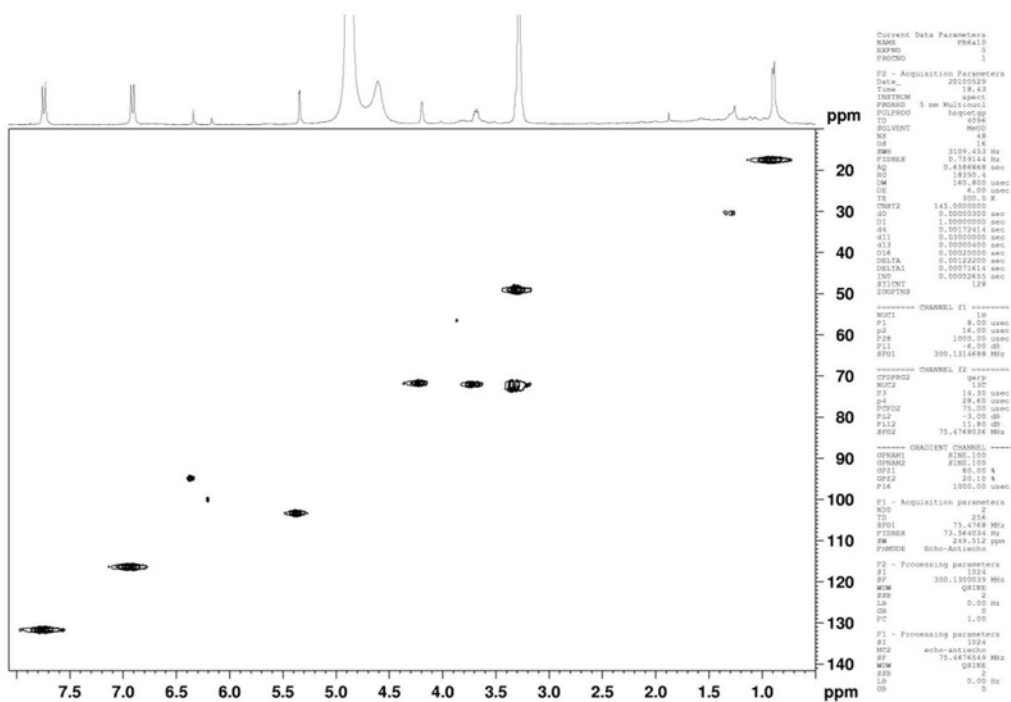


Figura 19S. Experimento HSQC (300/75 MHz, CD_3OD) do composto **4** (kaempferol-3-O- α -L-rhamnopyranosídeo)

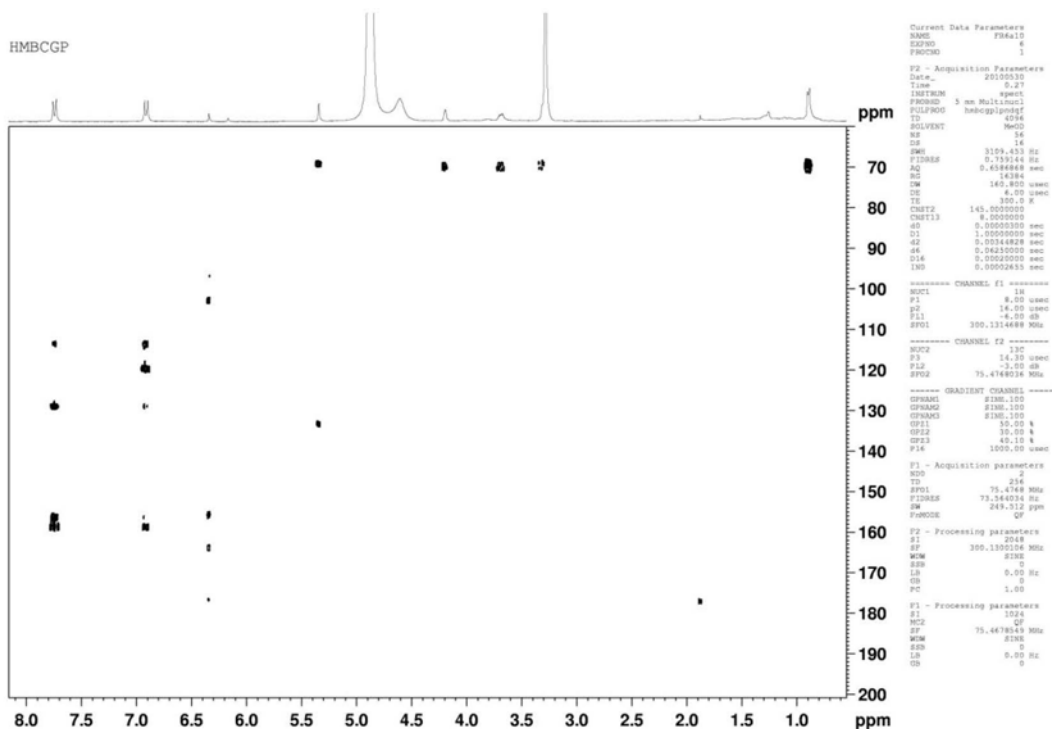


Figura 20S. Experimento HMBC (300/75 MHz, CD₃OD) do composto 4 (kaempferol-3-O- α -L-rhamnopiranosídeo)

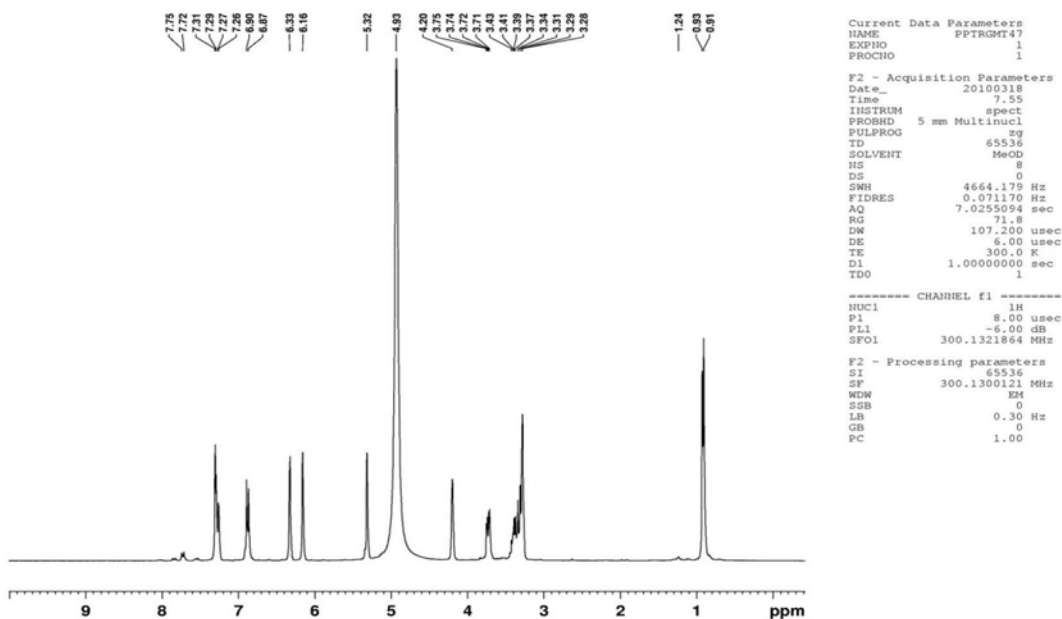


Figura 21S. Espectro de RMN ¹H (300 MHz, CD₃OD) do composto 5 (quercetina-3-O- α -L-rhamnopiranosídeo)

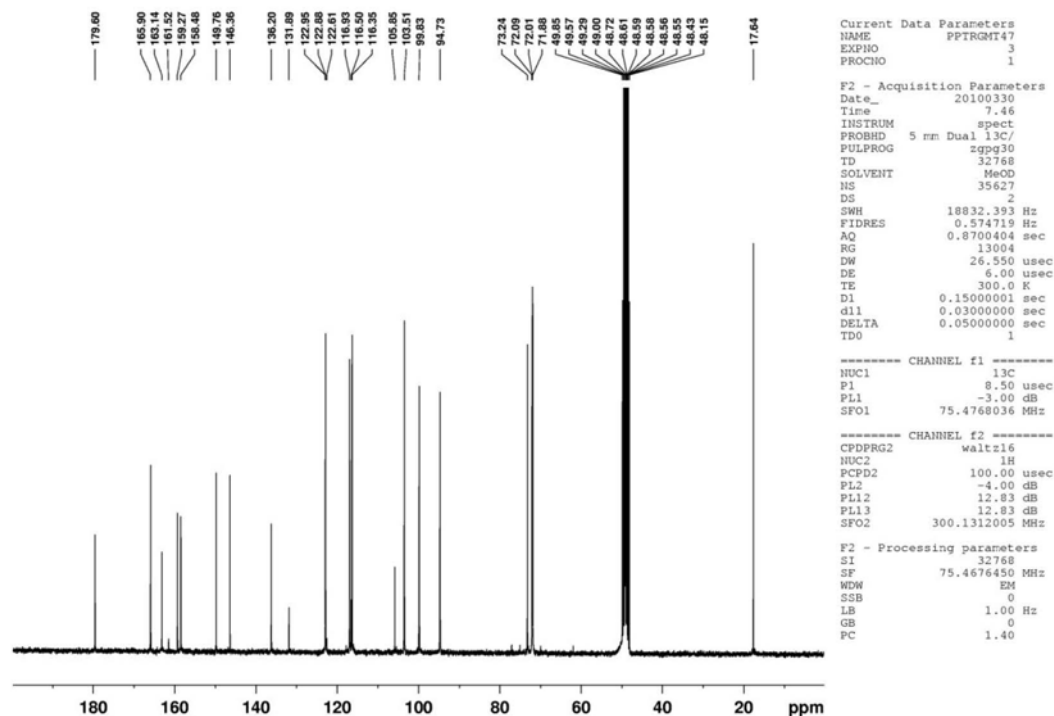


Figura 22S. Espectro de RMN ^{13}C (75 MHz, CD_3OD) do composto 5 (quercetina-3-O- α -L-rhamnopyranosídeo)

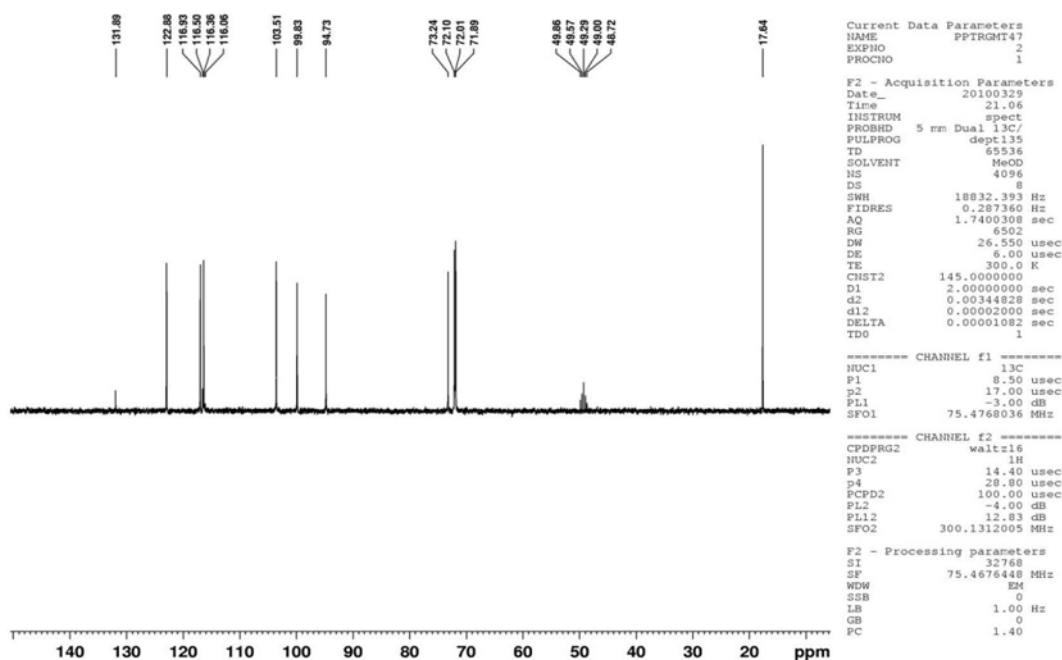


Figura 23S. Experimento DEPT 135° (75 MHz, CD_3OD) do composto 5 (quercetina-3-O- α -L-rhamnopyranosídeo)

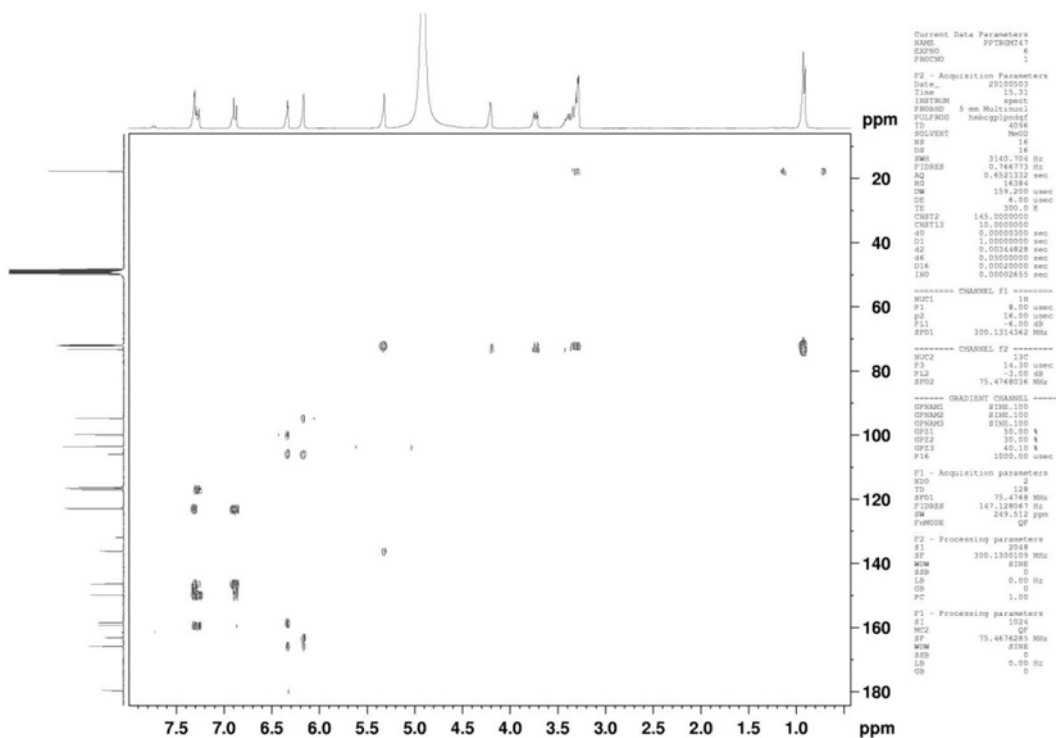


Figura 24S. Experimento HMBC (300/75 MHz, CD₃OD) do composto 5 (quercetina-3-O- α -L-rhamnopyranosídeo)

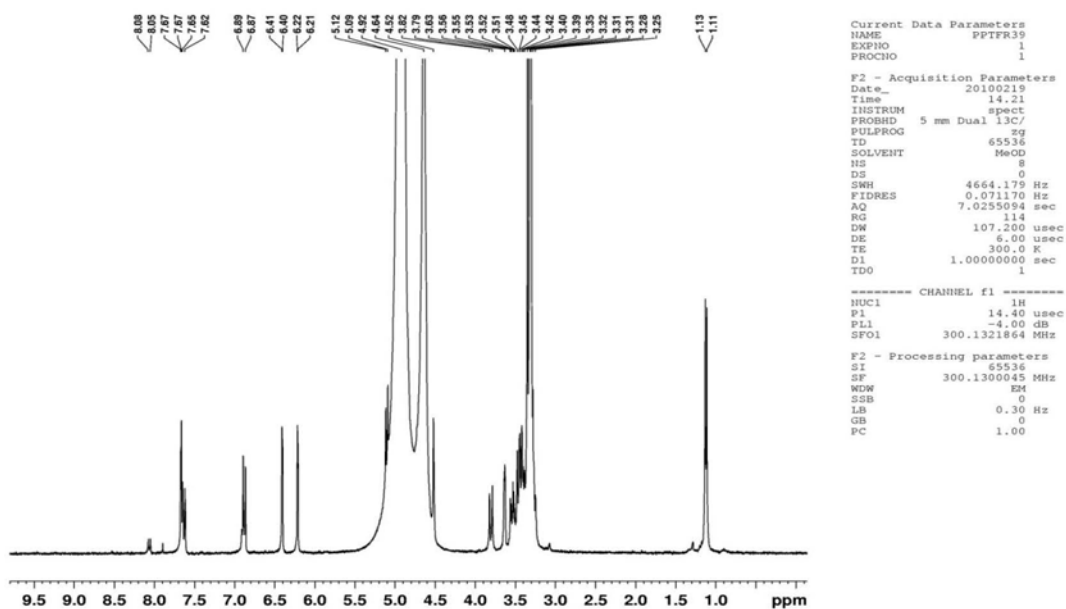


Figura 25S. Espectro de RMN ¹H (300 MHz, CD₃OD) do composto 6 (rutina)

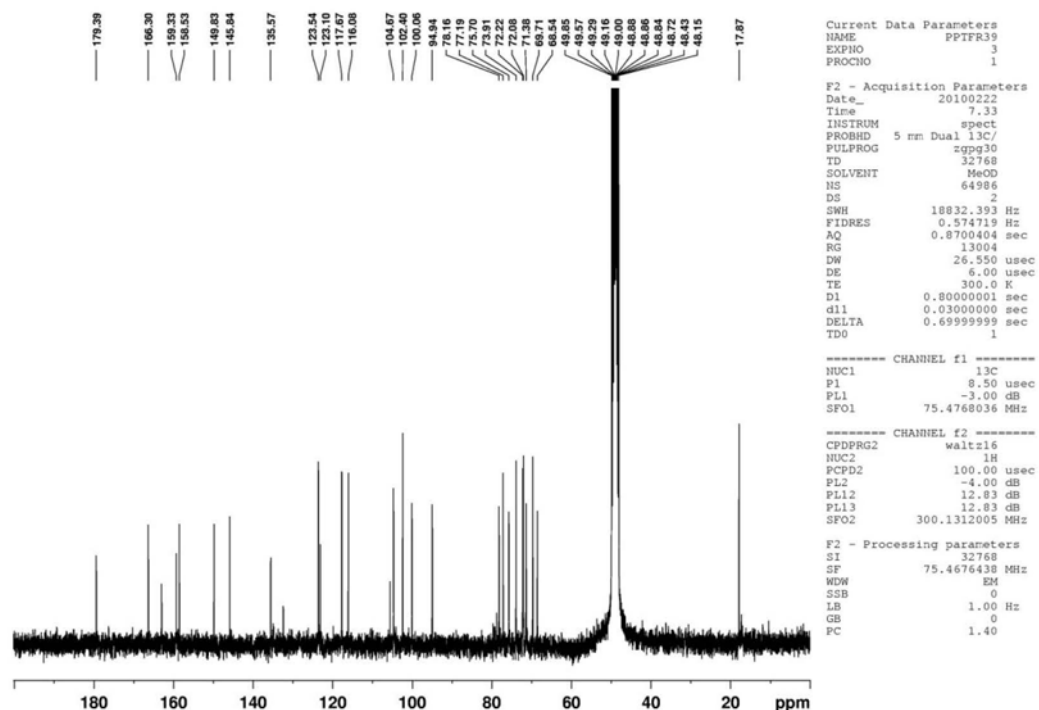


Figura 26S. RMN ^{13}C (75 MHz, CD_3OD) do composto 6 (rutina)

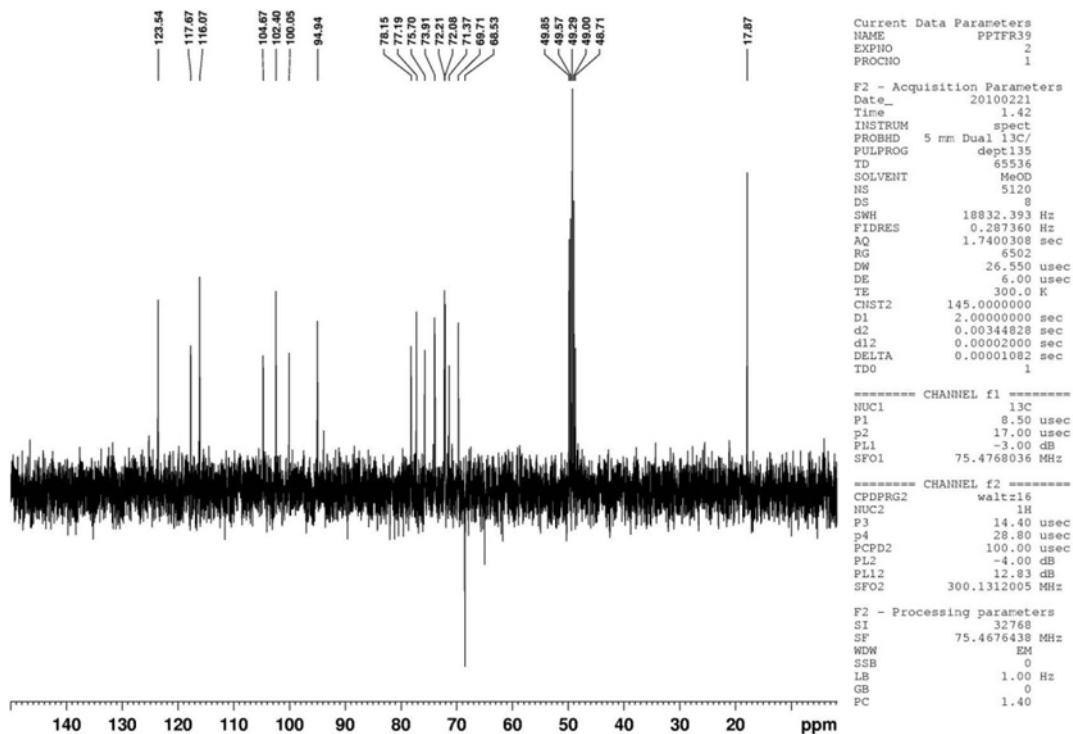


Figura 27S. DEPT 135° (75 MHz, CD_3OD) do composto 6 (rutina)

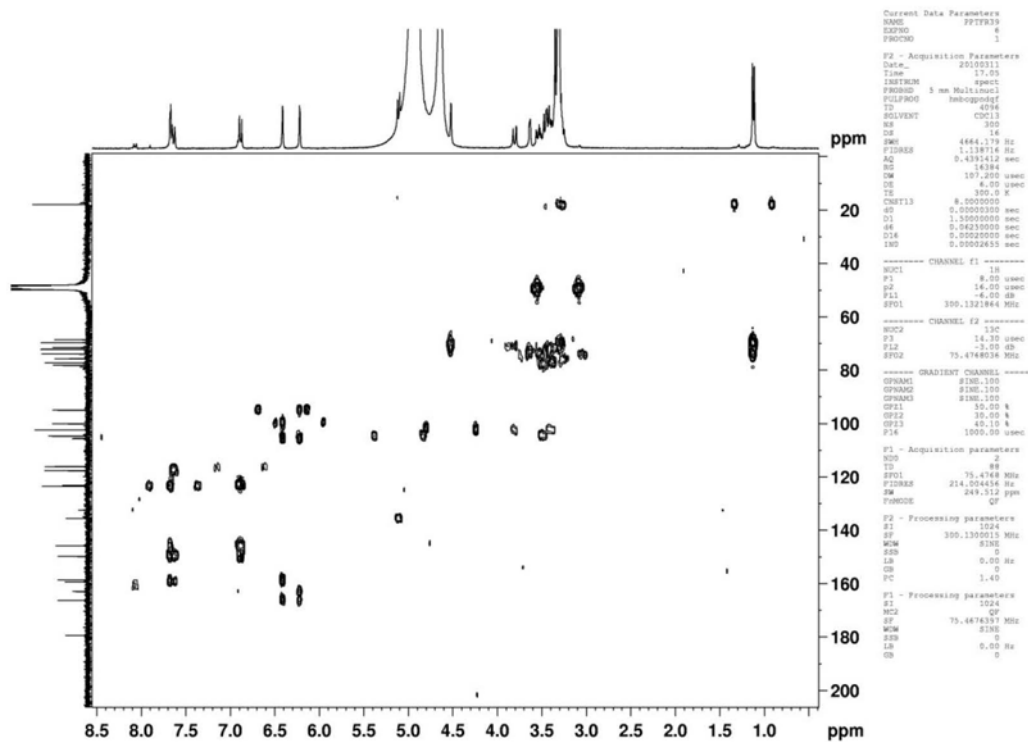


Figura 28S. Experimento HMBC (300/75 MHz, CD₃OD) do composto 6 (rutina)

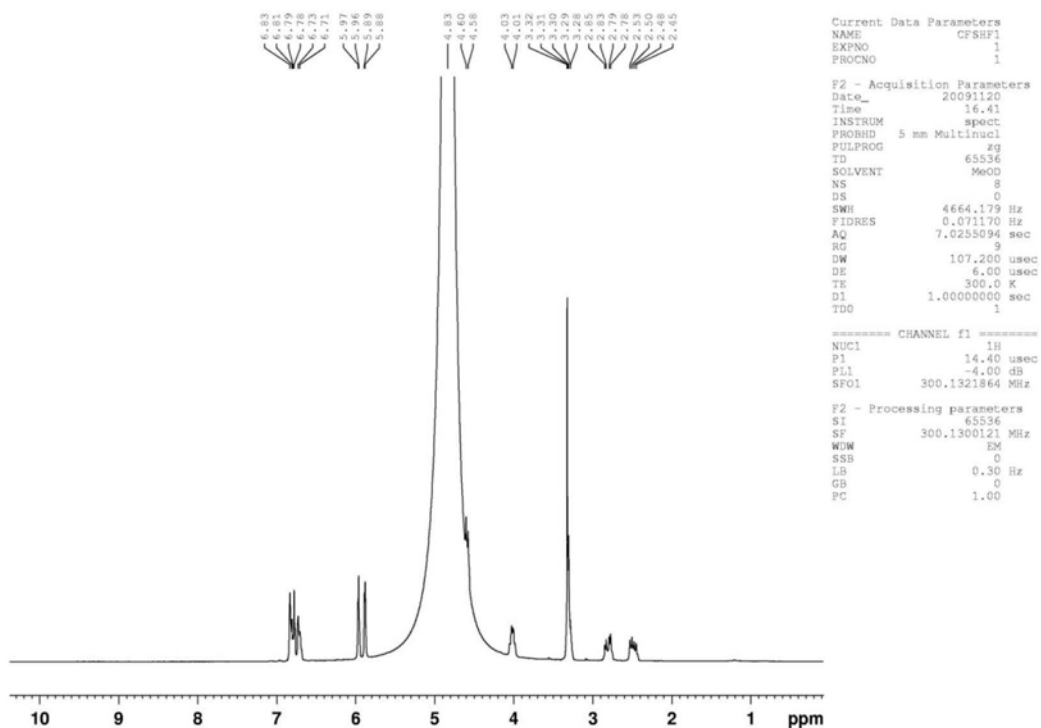


Figura 29S. Espectro de RMN ¹H (300 MHz, CD₃OD) do composto 7 [(+)-catequina]

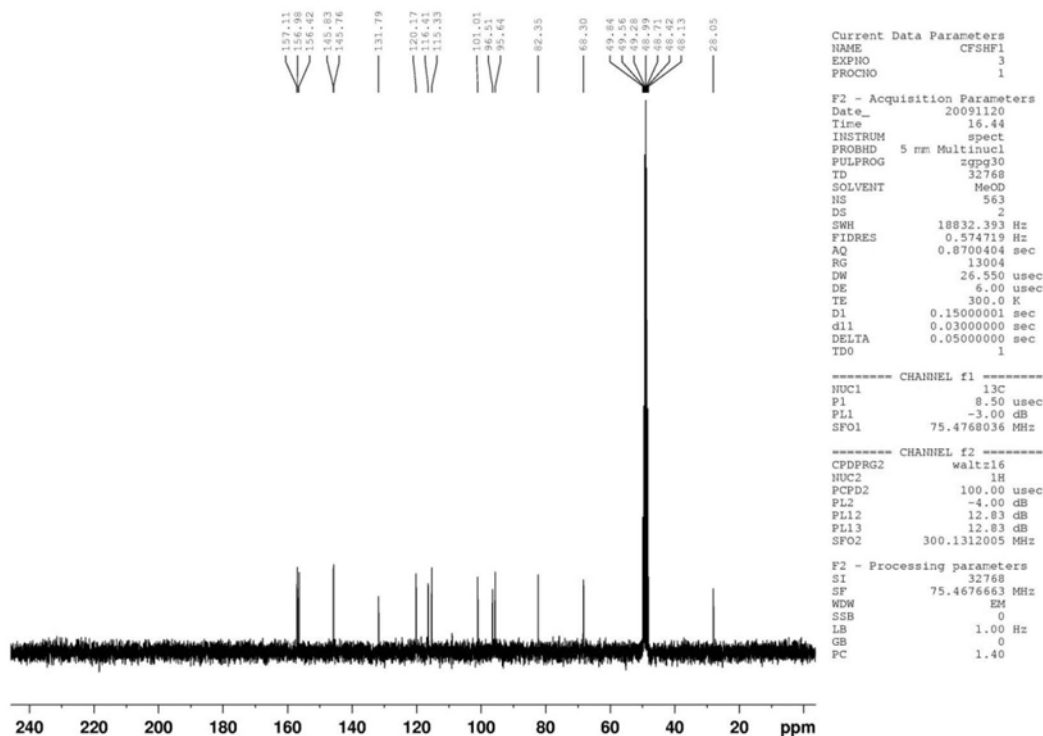


Figura 30S. Espectro de RMN ^{13}C (75 MHz, CD_3OD) do composto 7 [(+)-catequina]

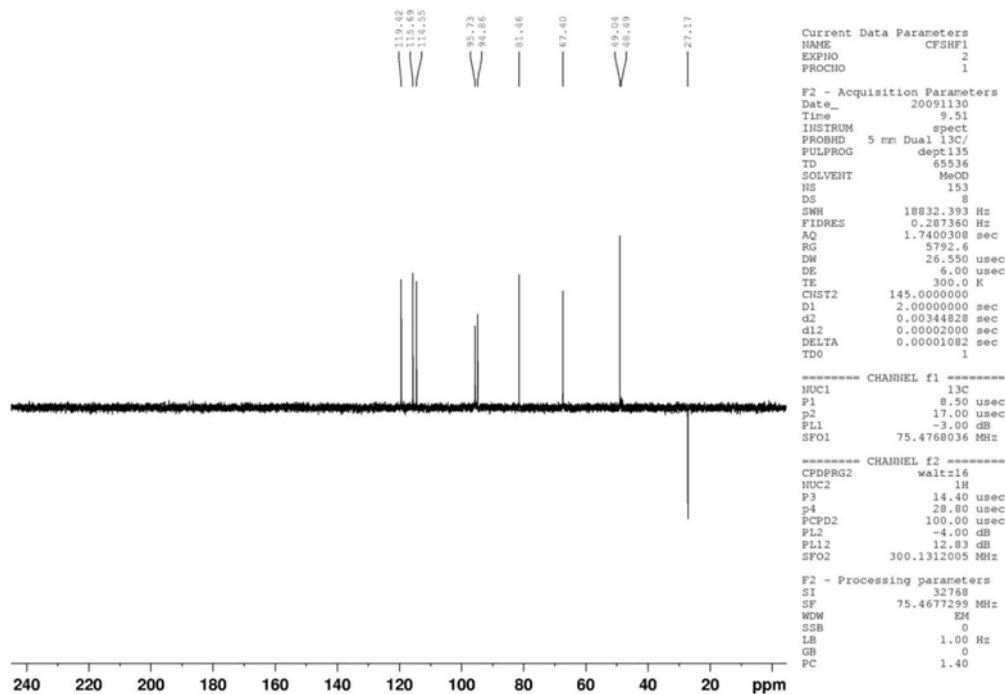


Figura 31S. Experimento DEPT 135° (75 MHz, CD_3OD) do composto 7 [(+)-catequina]

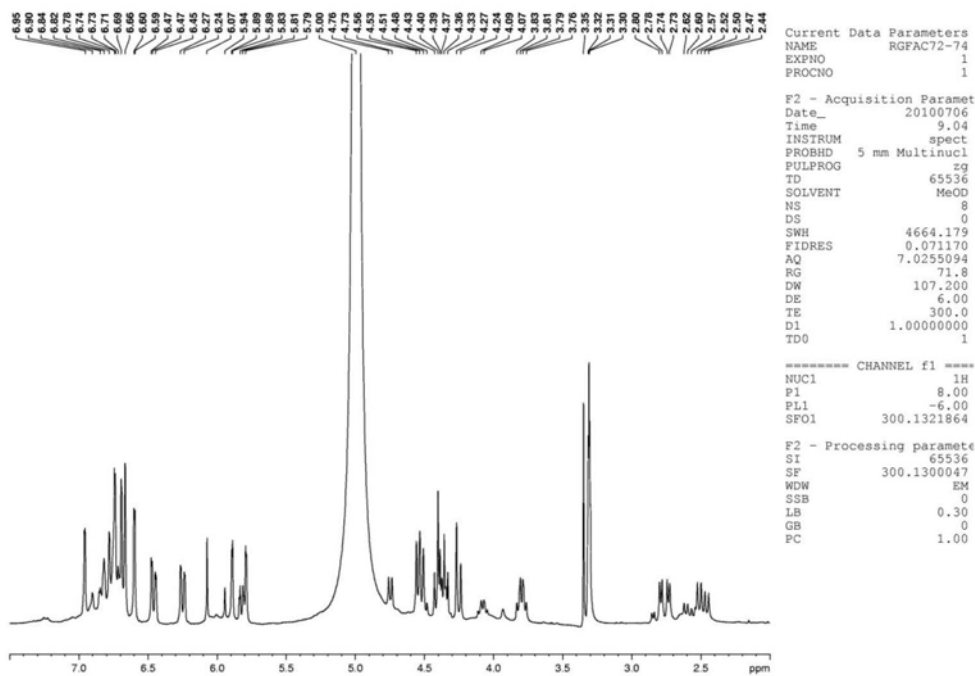


Figura 32S. Espectro de RMN ¹H (300 MHz, CD₃OD) do composto 8 [(+)-catequina-(4α-8)-catequina]

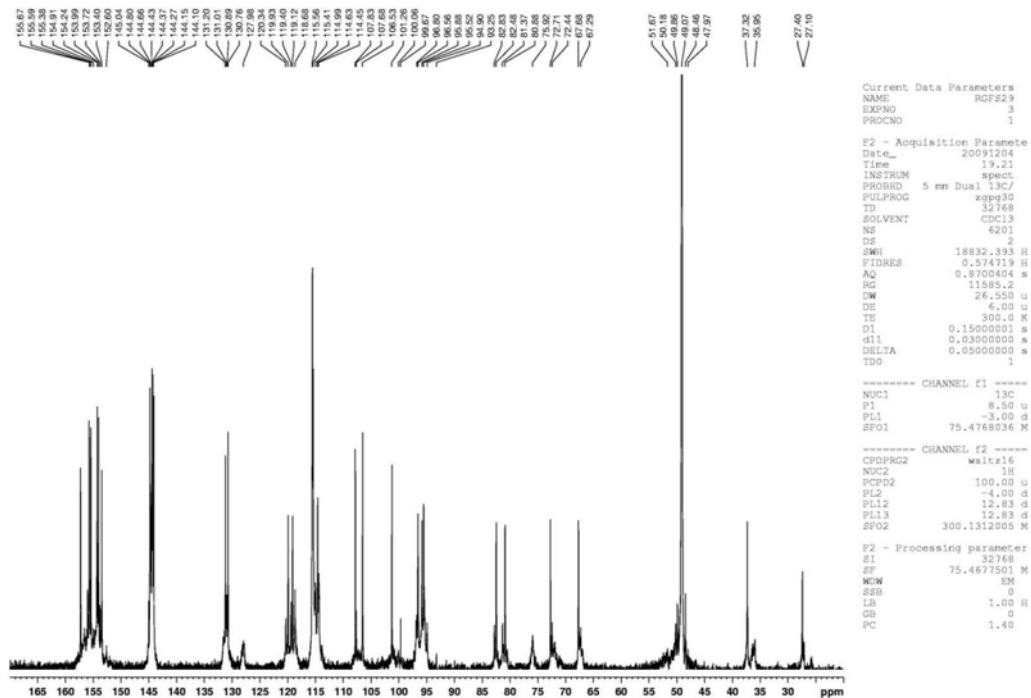


Figura 33S. Espectro de RMN ¹³C (75 MHz, CD₃OD) do composto 8 [(+)-catequina-(4α-8)-catequina]

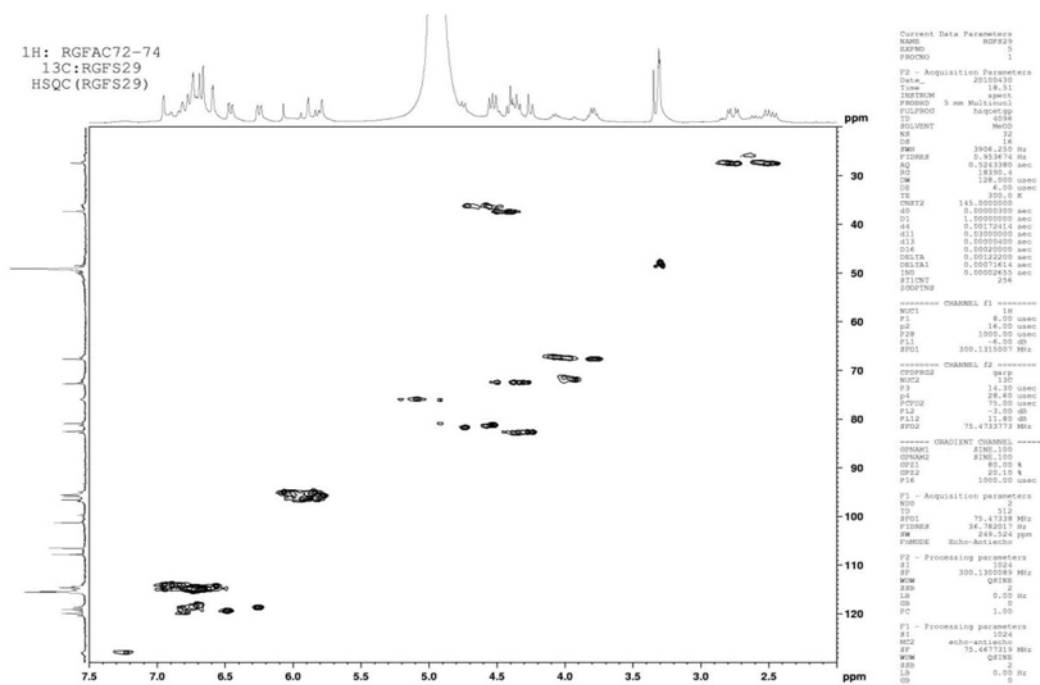


Figura 34S. Experimento HSQC (300/75 MHz, CD₃OD) do composto 8 [(+)-catequina-(4 α -8)-catequina]

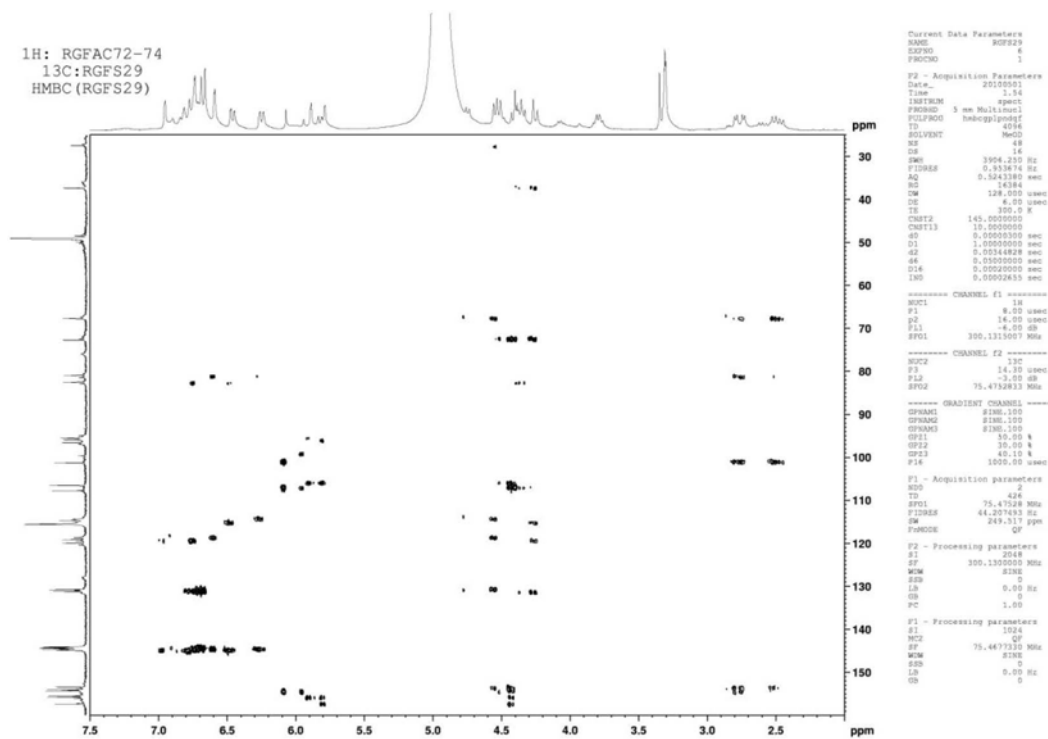


Figura 35S. Experimento HMBC (300/75 MHz, CD₃OD) do composto 8 [(+)-catequina-(4 α -8)-catequina]

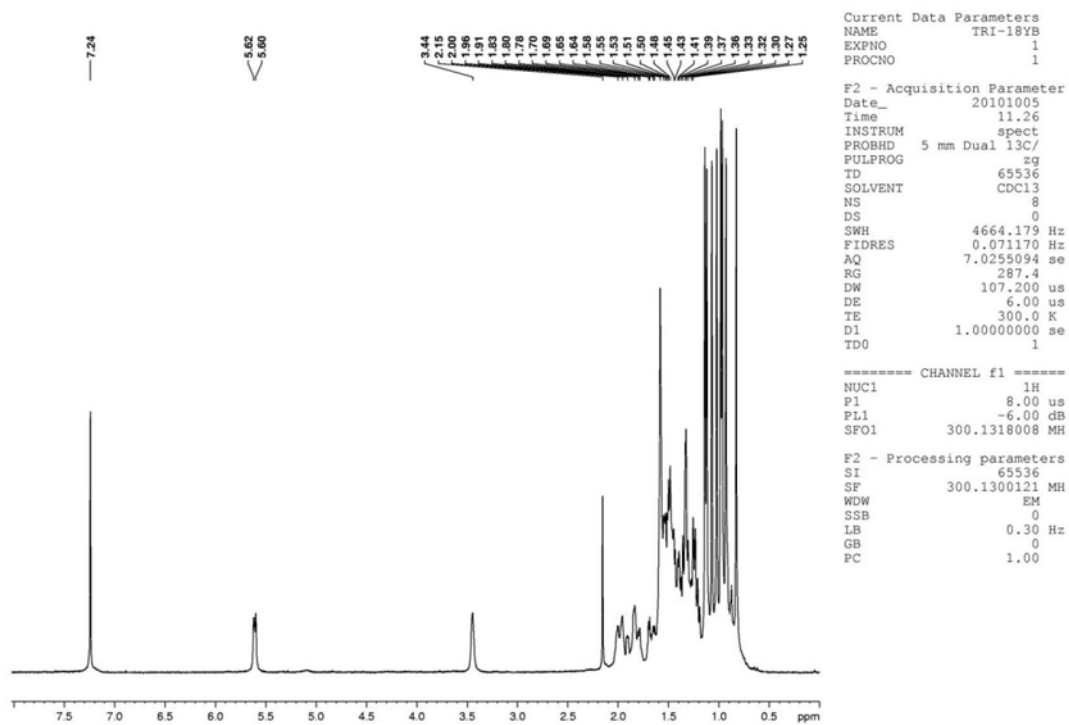


Figura 36S. Espectro de RMN ^1H (300 MHz, CDCl_3) do composto **9** (glutinin)

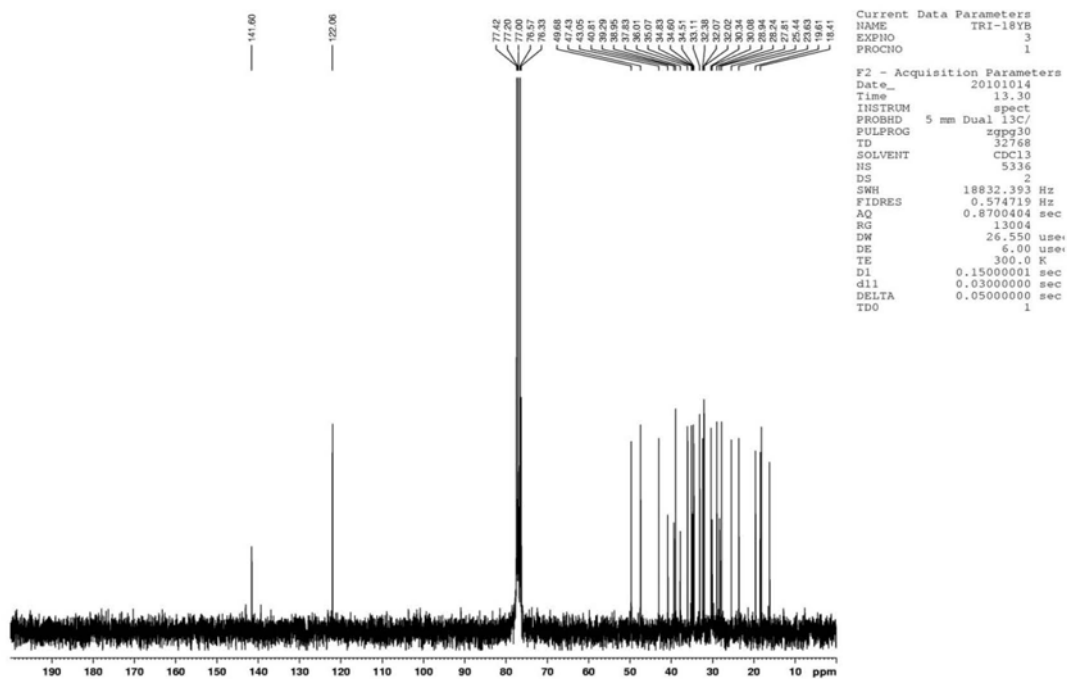


Figura 37S. Espectro de RMN ^{13}C (75 MHz, CDCl_3) do composto **9** (glutinin)

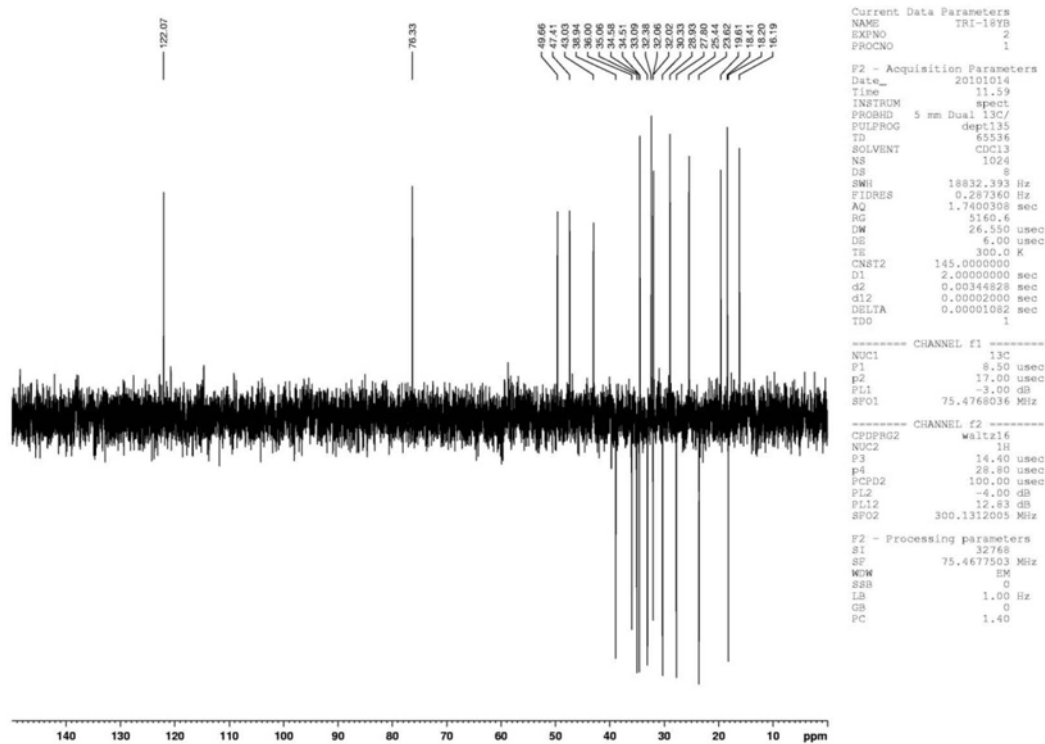


Figura 38S. Experimento DEPT 135° (75 MHz, CDCl₃) do composto 9 (glutinol)

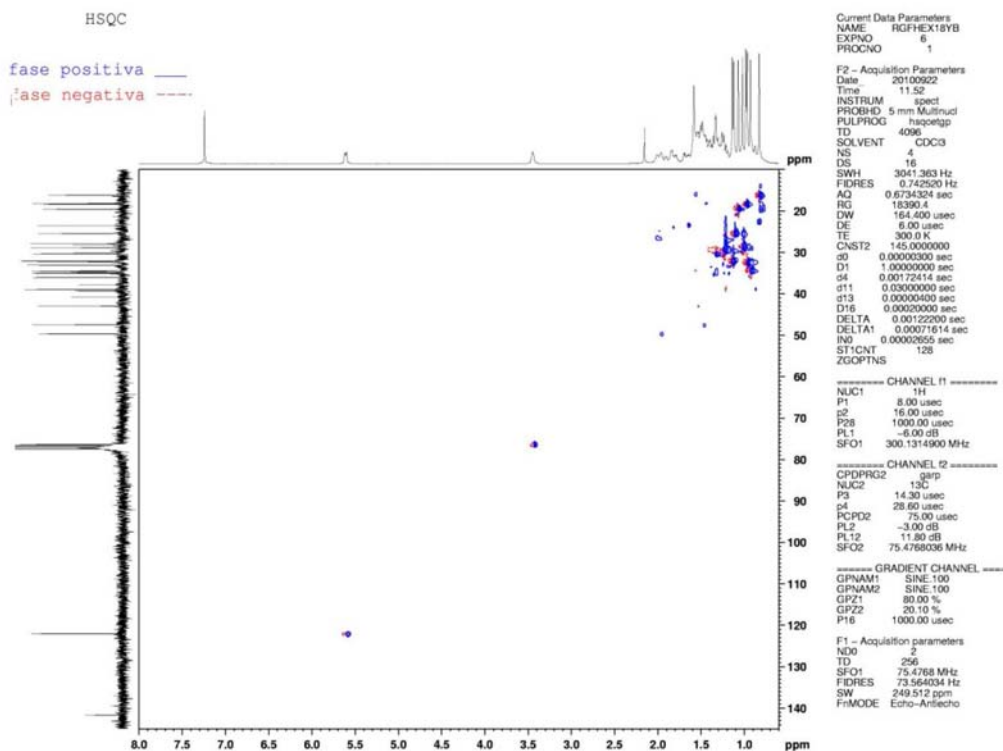


Figura 39S. Experimento HSQC (300/75 MHz, CDCl₃) do composto 9 (glutinol)

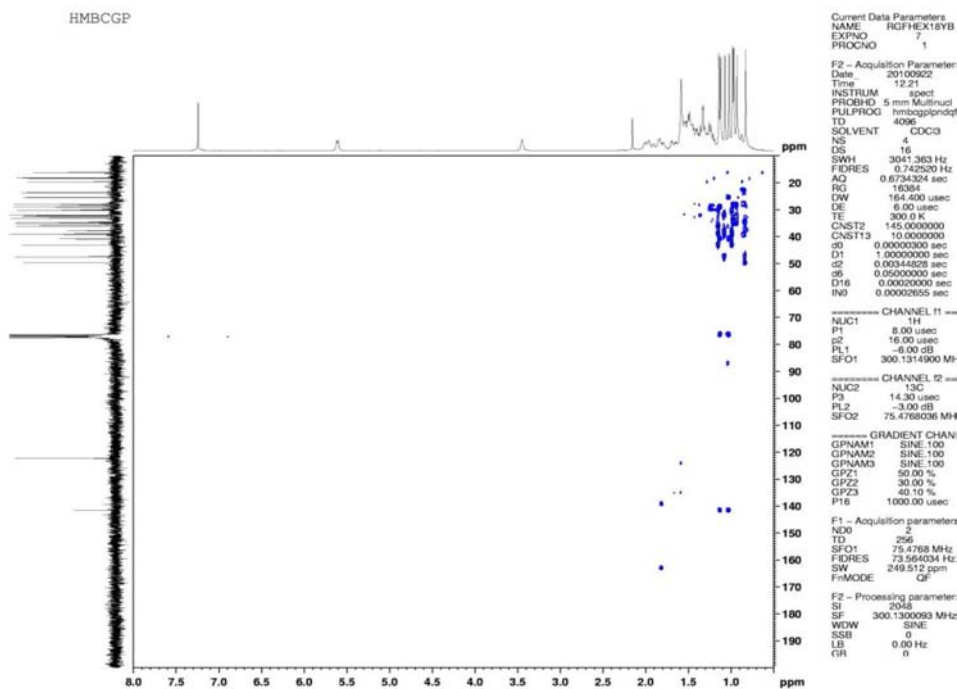


Figura 40S. Experimento HMBC (300/75 MHz, CDCl₃) do composto 9 (glutinol)

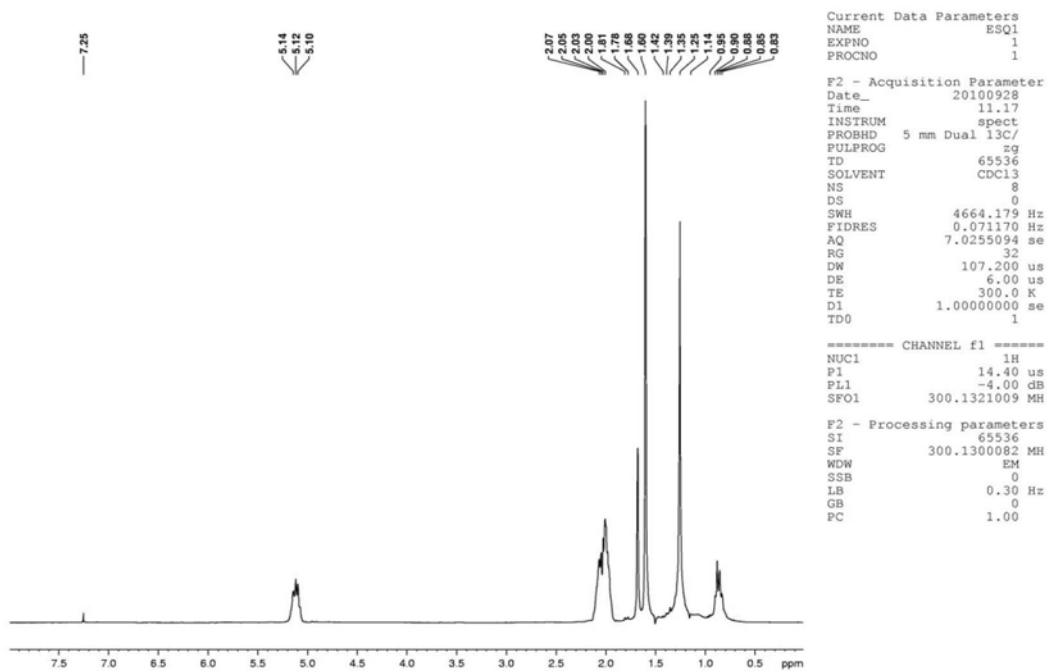


Figura 41S. Espectro de RMN ¹H (300 MHz, CDCl₃) do composto 10 (esqualeno)

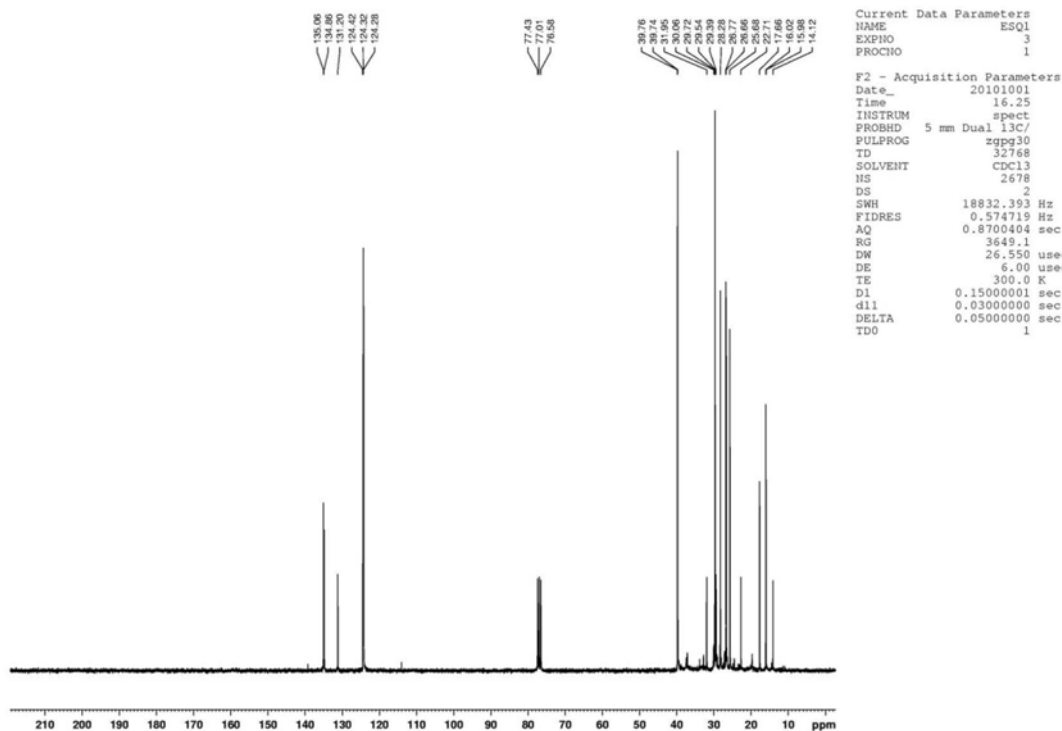


Figura 42S. Espectro de RMN ^{13}C (75 MHz, CDCl_3) do composto 10 (esqualeno)

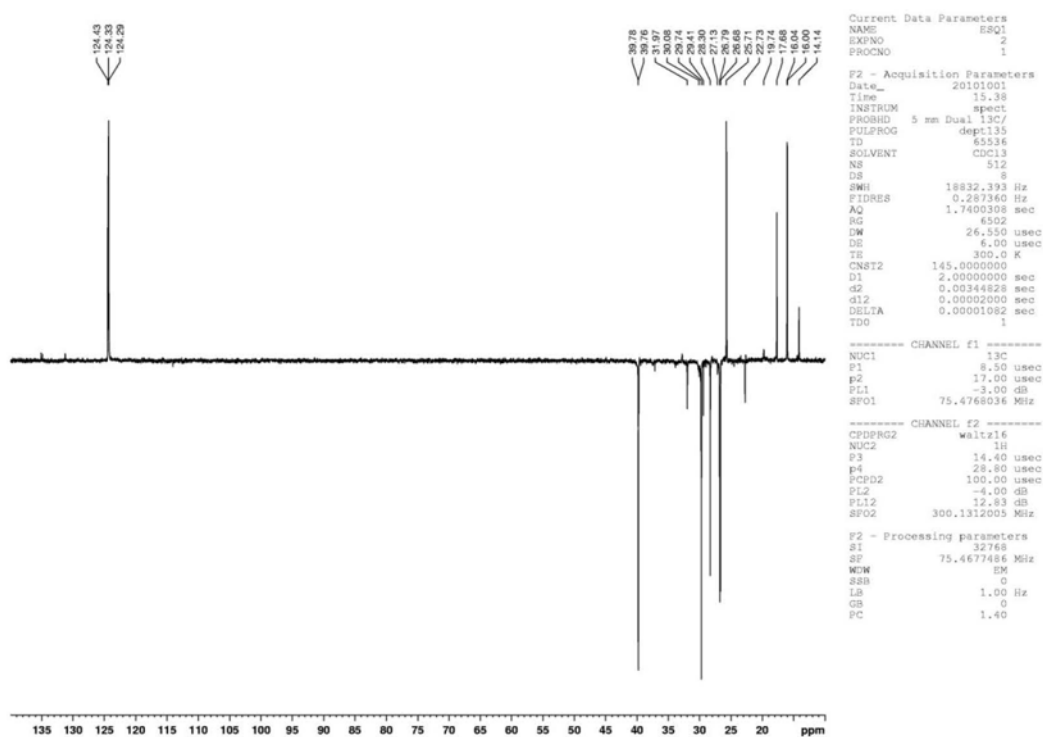


Figura 43S. Experimento DEPT 135° (75 MHz, CDCl_3) do composto 10 (esqualeno)

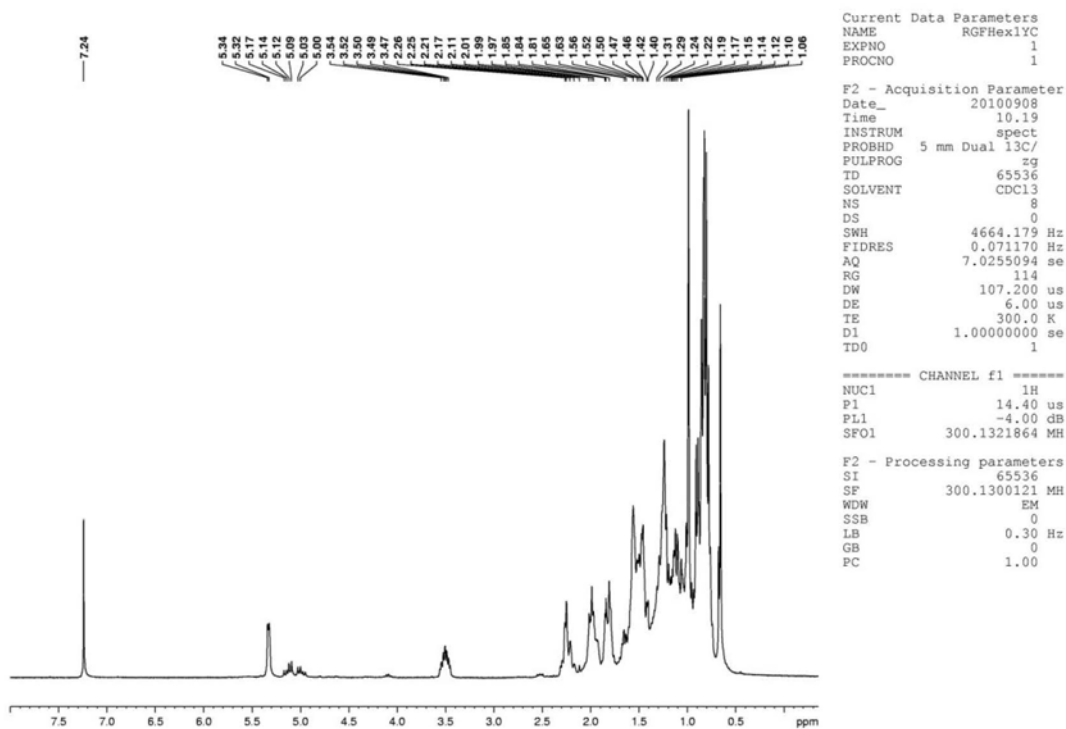


Figura 44S. Espectro de RMN ^1H (300 MHz, CDCl_3) dos compostos 11 e 12 (estigmasterol e β -sitosterol)

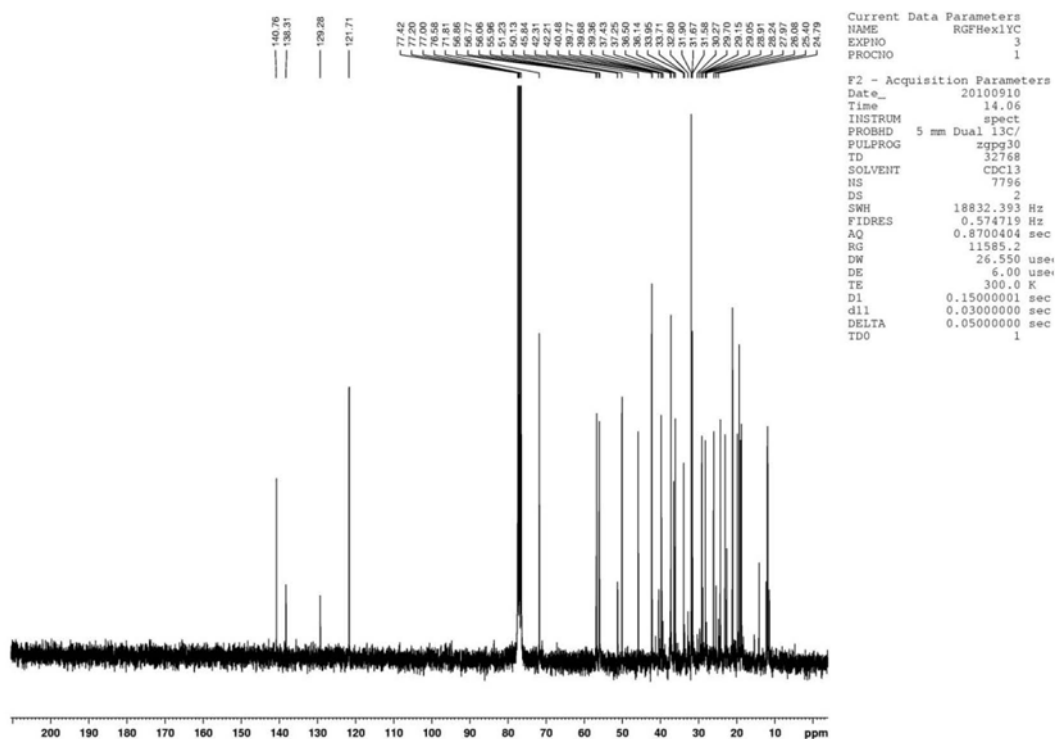


Figura 45S. Espectro de RMN ^{13}C (75 MHz, CDCl_3) dos compostos 11 e 12 (estigmasterol e β -sitosterol)

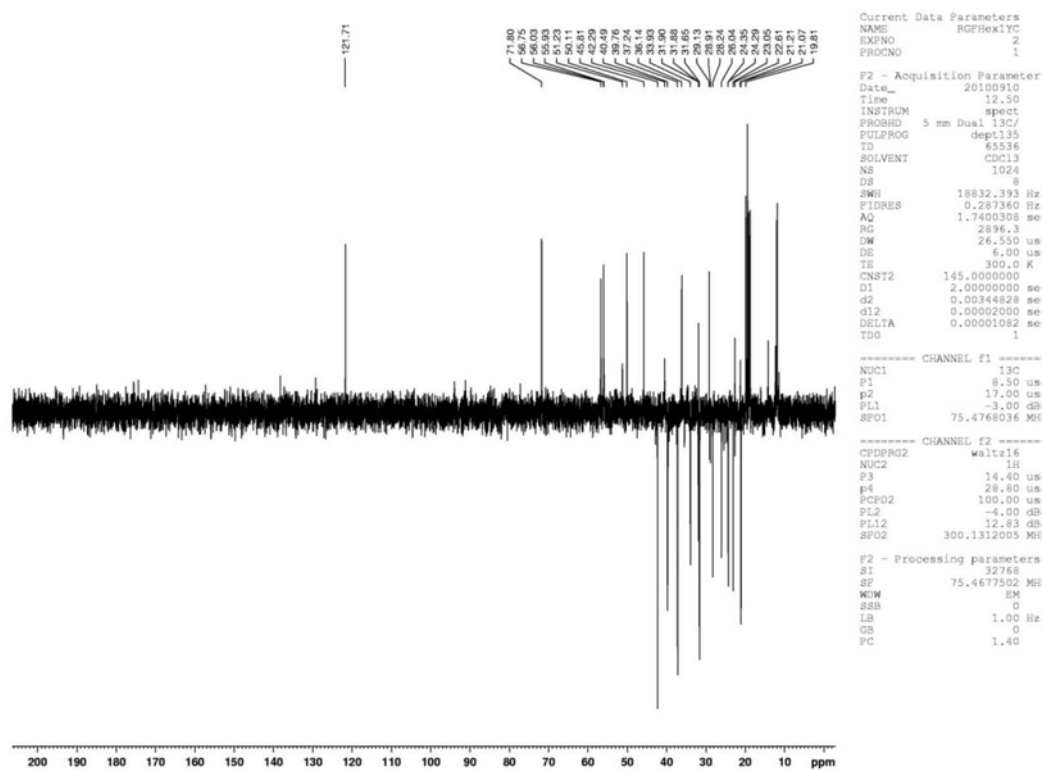


Figura 46S. Experimento DEPT 135° (75 MHz, CDCl₃) dos compostos 11 e 12 (estigmasterol e β-sitosterol)

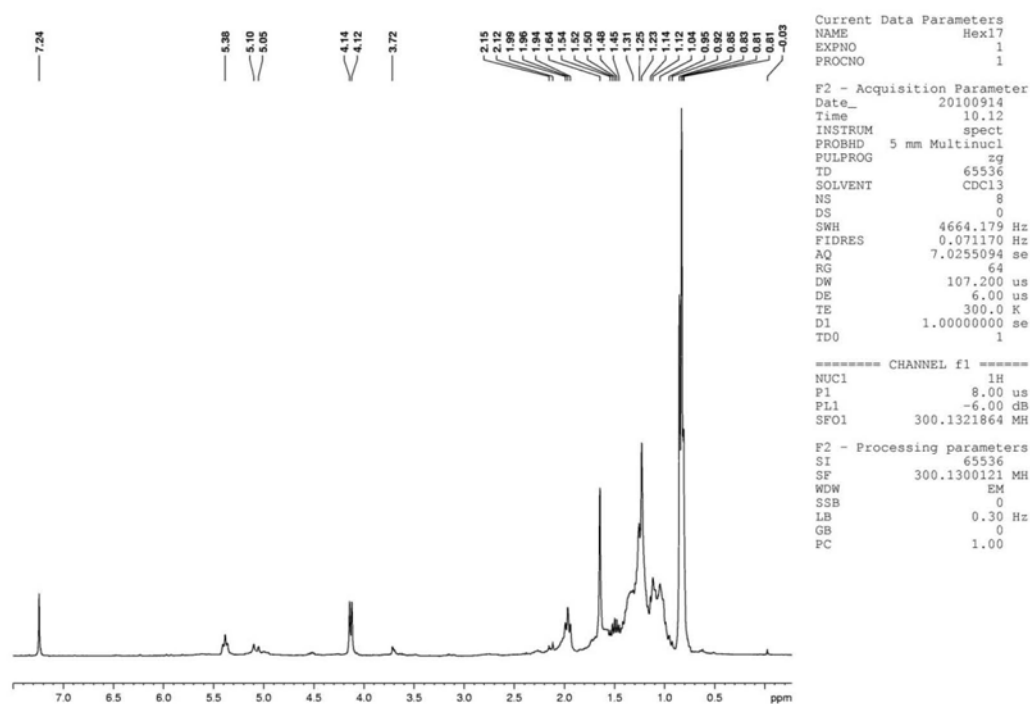


Figura 47S. Espectro de RMN ¹H (300 MHz, CDCl₃) do composto 13 (Fitol)

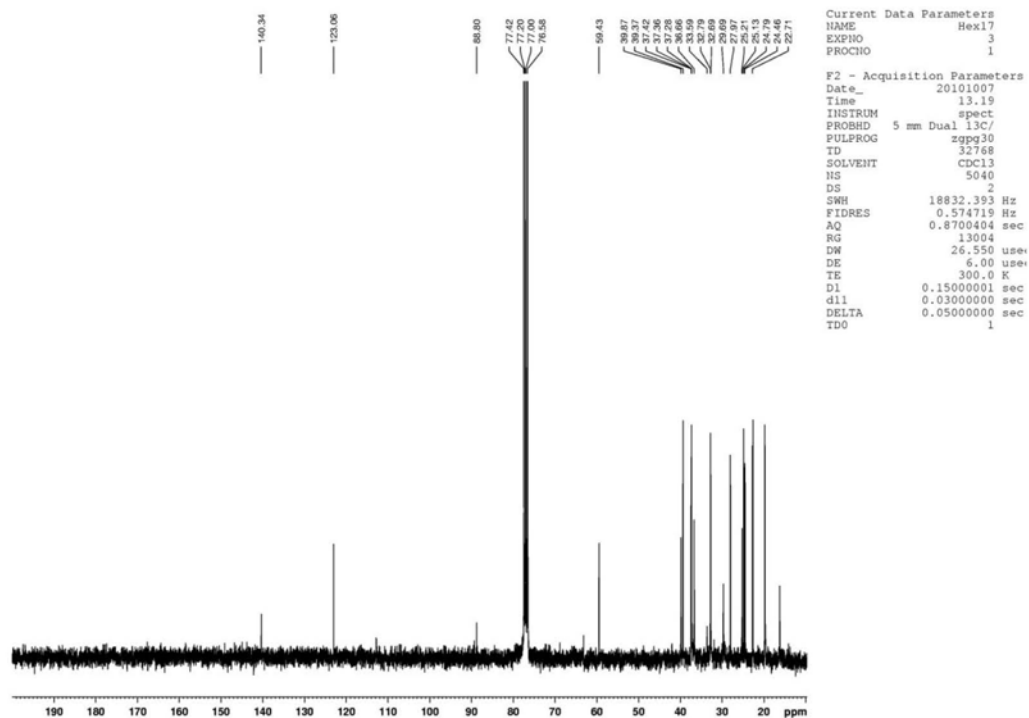


Figura 48S. Espectro de RMN ^{13}C (75 MHz, CDCl_3) do composto 13 (Fitol)

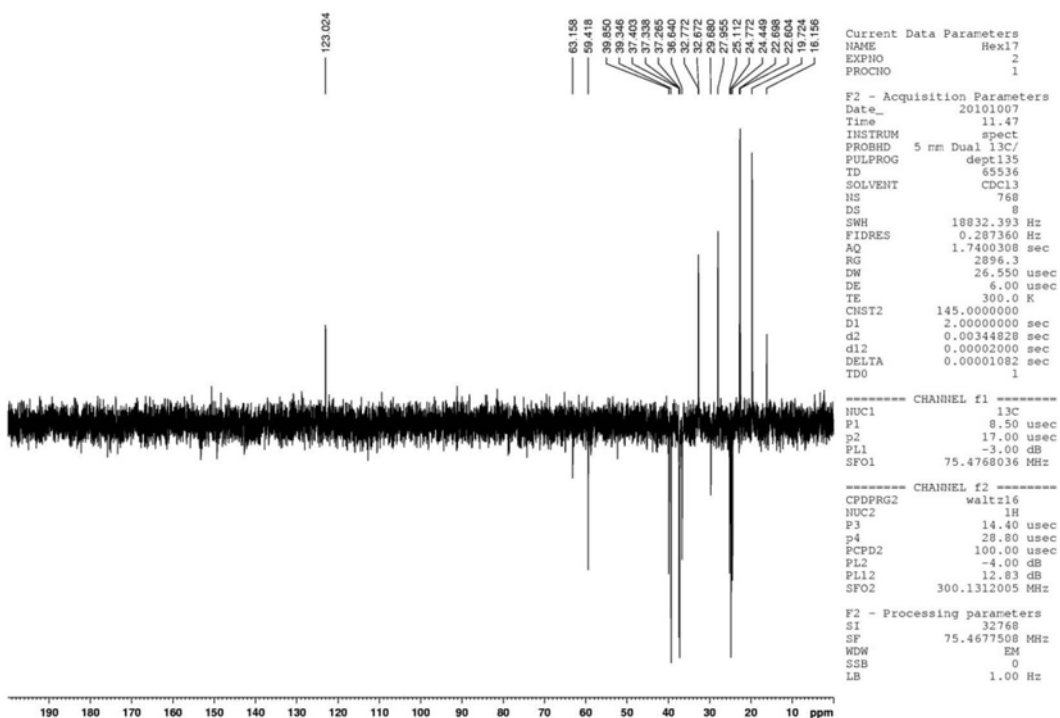


Figura 49S. Experimento DEPT 135° (75 MHz, CDCl_3) do composto 13 (Fitol)

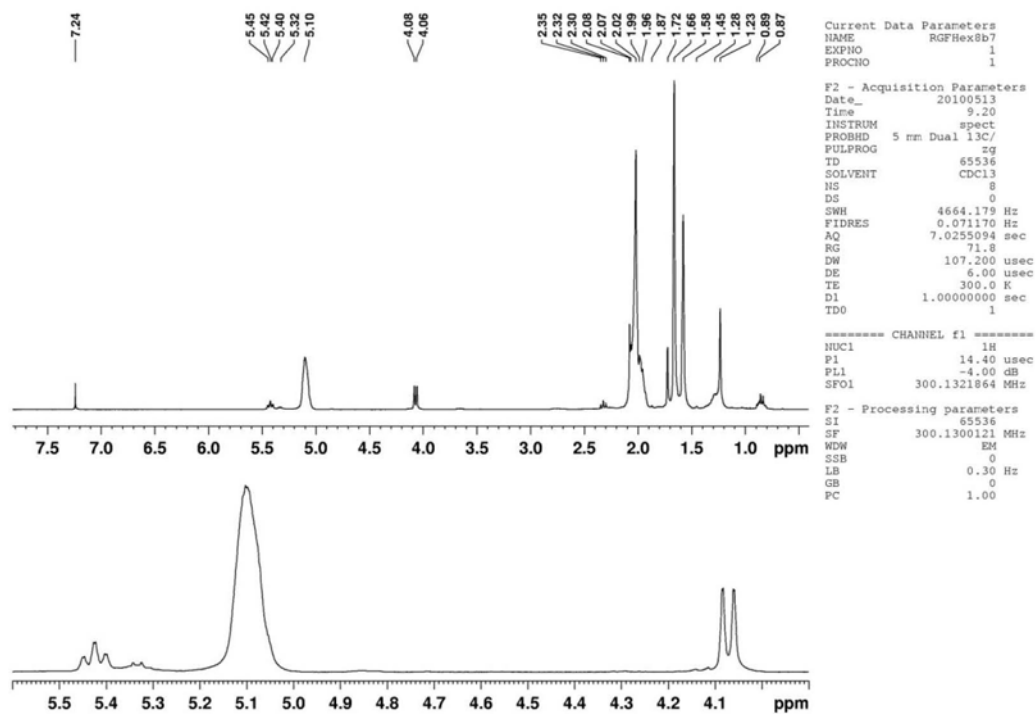


Figura 50S. Espectro de RMN ^1H (300 MHz, CDCl_3) do composto **14** (Ficaprenol-12)

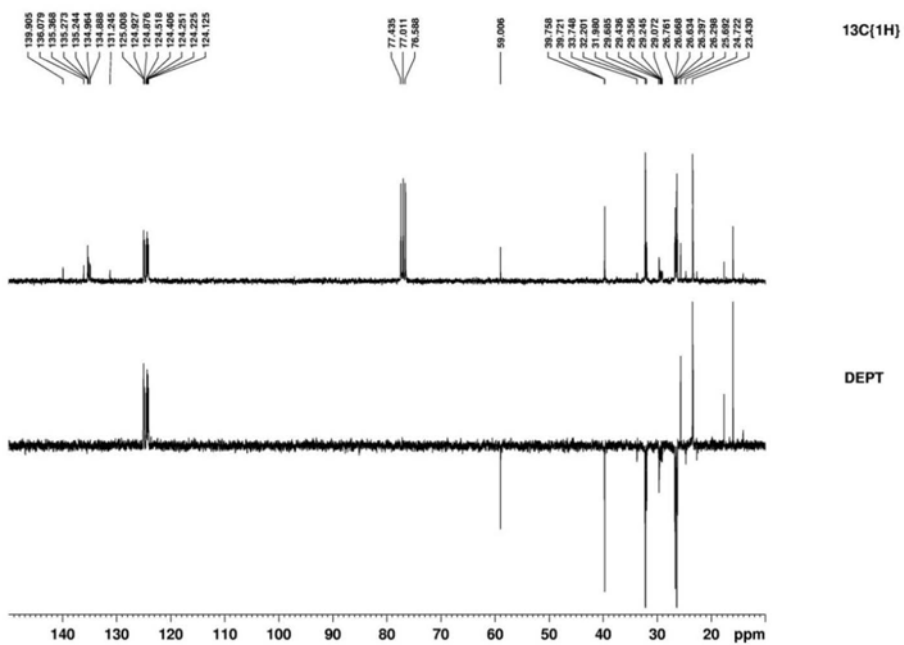


Figura 51S. Espectro de RMN ^{13}C (75 MHz, CDCl_3) do composto **14** (Ficaprenol-12)

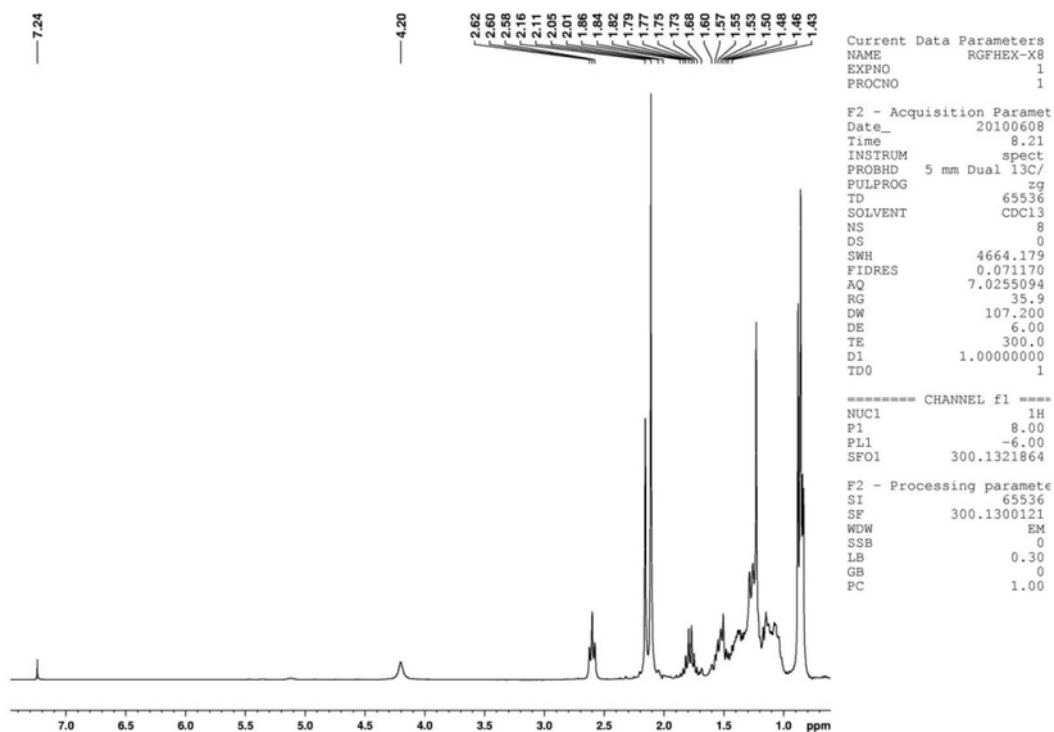


Figura 52S. Espectro de RMN ^1H (300 MHz, CDCl_3) do composto 15 (α -tocoferol)

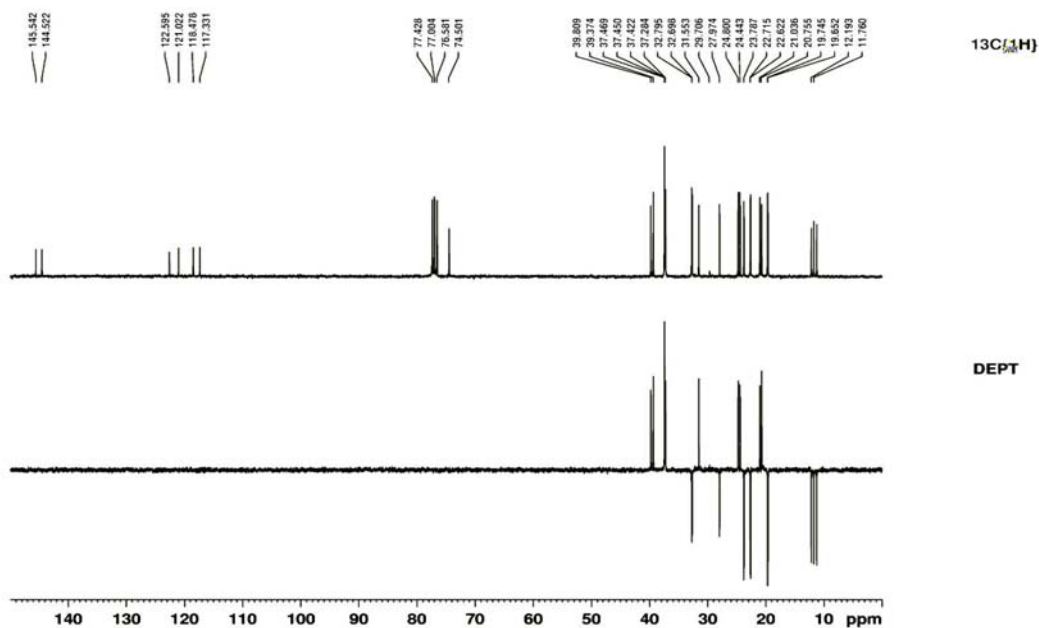


Figura 53S. Espectro de RMN ^{13}C e experimento DEPT 135° (75 MHz, CDCl_3) do composto 15 (α -tocoferol)

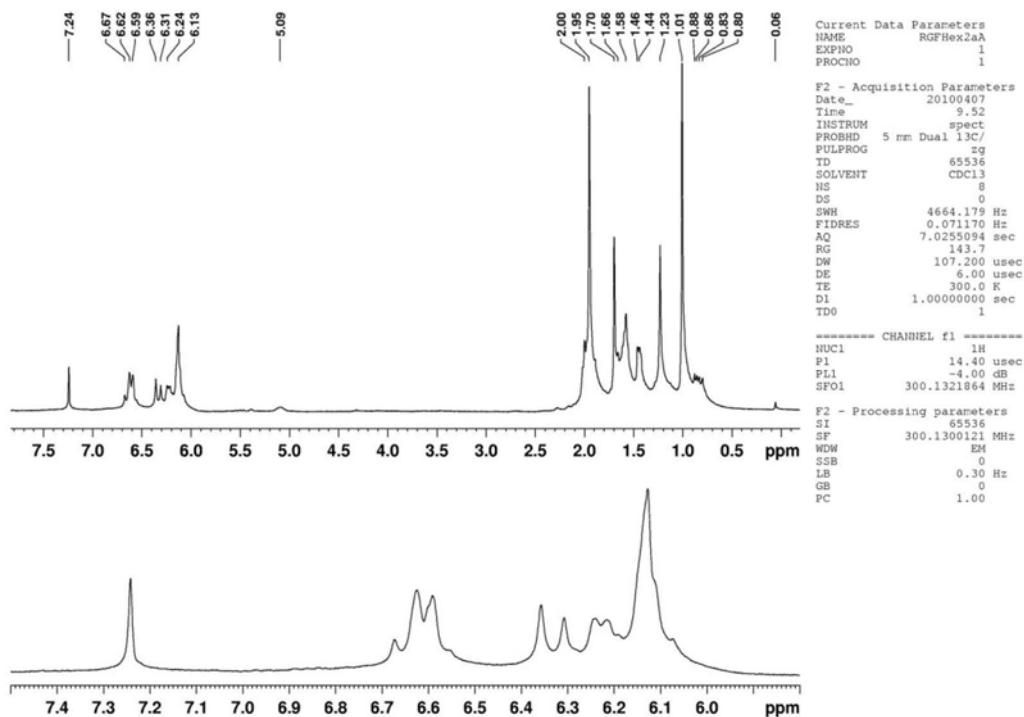


Figura 54S. Espectro de RMN ^1H (300 MHz, CDCl_3) do composto 16 (β -caroteno)

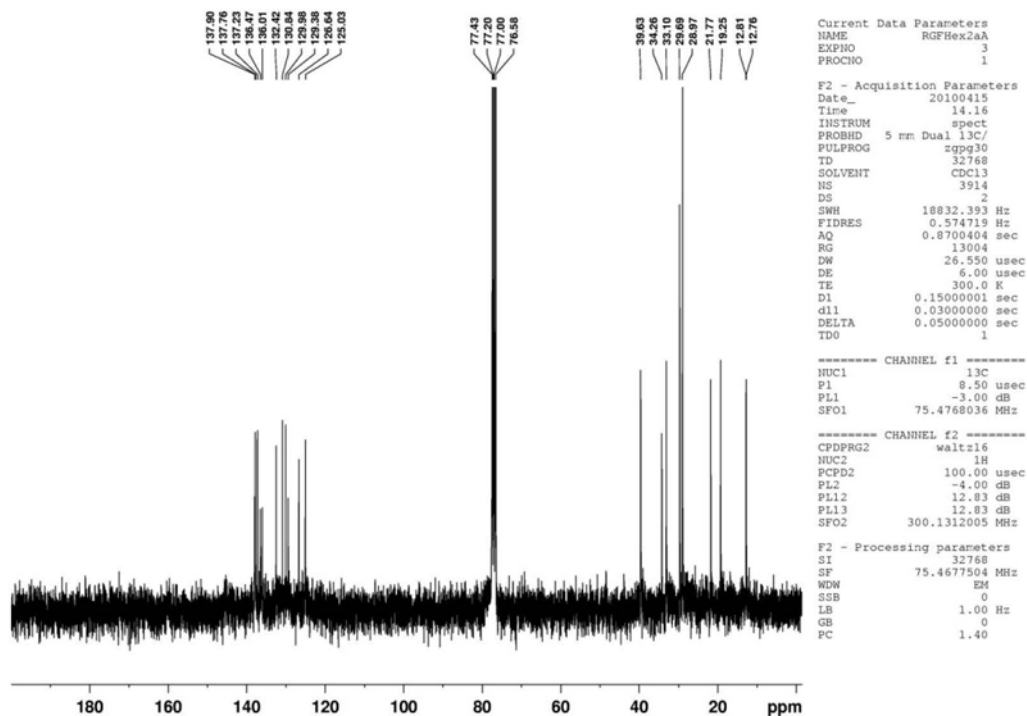


Figura 55S. Espectro de RMN ^{13}C (75 MHz, CDCl_3) do composto 16 (β -caroteno)

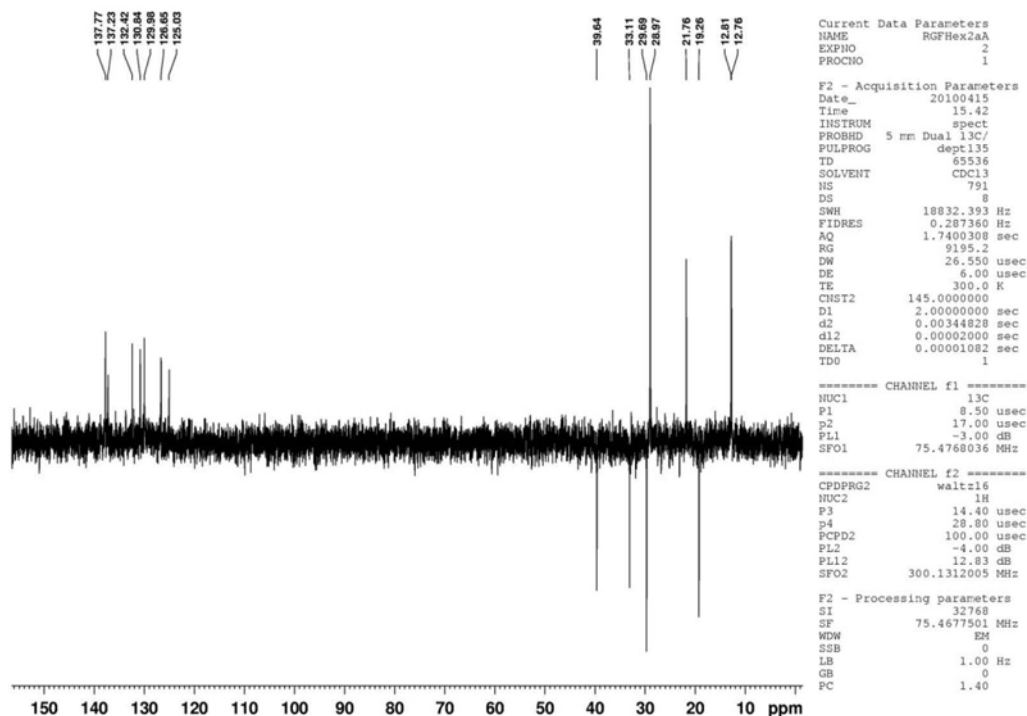


Figura 56S. Experimento de DEPT 135° (75 MHz, CDCl₃) do composto 16 (β-caroteno)

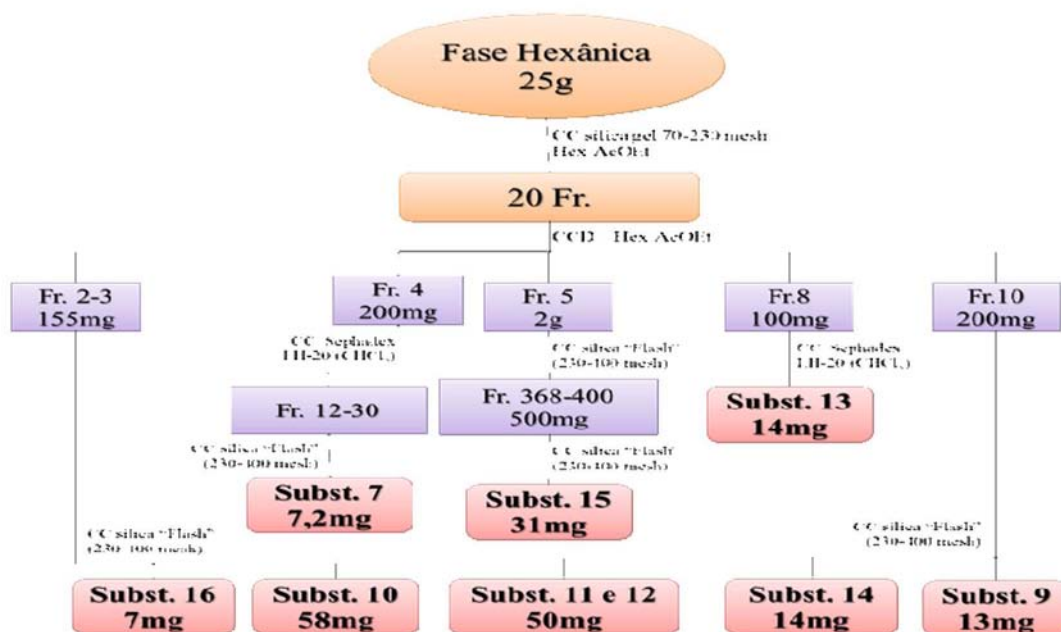


Figura 57S. Esquema do fracionamento da fase hexânica das folhas de *R. graciliflora*

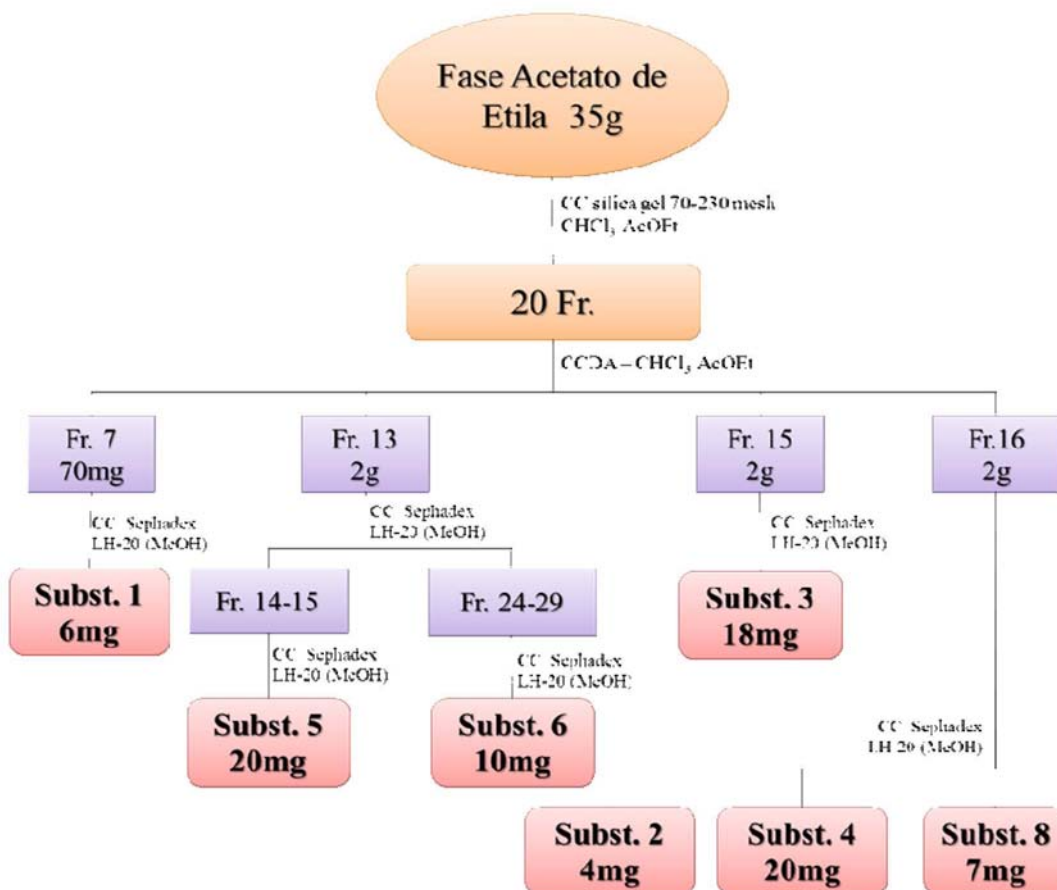


Figura 58S. Esquema do fracionamento da fase acetato de etila das folhas de *R. graciliflora*